



(12) 发明专利

(10) 授权公告号 CN 103413523 B

(45) 授权公告日 2015. 05. 27

(21) 申请号 201310329847. X

(22) 申请日 2013. 07. 31

(73) 专利权人 京东方科技集团股份有限公司

地址 100015 北京市朝阳区酒仙桥路 10 号

专利权人 成都京东方光电科技有限公司

(72) 发明人 周全国 祁小敬

(74) 专利代理机构 北京同达信恒知识产权代理  
有限公司 11291

代理人 黄志华

(51) Int. Cl.

G09G 3/32(2006. 01)

审查员 史孝波

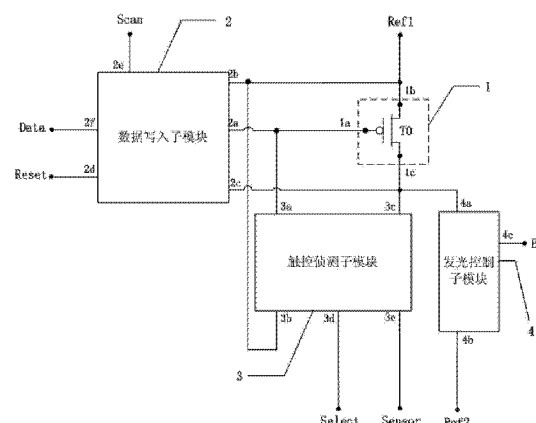
权利要求书2页 说明书18页 附图13页

(54) 发明名称

一种像素电路、有机电致发光显示面板及显  
示装置

(57) 摘要

本发明公开了一种像素电路、有机电致发光显示面板及显示装置，该像素电路包括：驱动子模块，数据写入子模块，具有光敏器件的触控侦测子模块，和具有发光器件的发光控制子模块。在复位信号端、扫描信号端和数据信号端的控制下，数据写入子模块向驱动子模块的第一端传输数据信号；在触控控制信号端的控制下，触控侦测子模块控制驱动子模块输出触控侦测信号，触控侦测信号随照射到光敏器件光强的增大而减小，实现触控功能；在发光控制信号端的控制下，发光控制子模块控制驱动子模块驱动发光器件发光，实现显示功能。该像素电路集成了触控与显示功能，可以节省分别设置显示驱动电路和触控电路的制作成本。



B

CN 103413523

1. 一种像素电路，其特征在于，包括：驱动子模块，数据写入子模块，具有光敏器件的触控侦测子模块，以及具有发光器件的发光控制子模块；其中，

所述驱动子模块的第一端分别与所述数据写入子模块的第一端和所述触控侦测子模块的第一端相连，所述驱动子模块的第二端分别与所述数据写入子模块的第二端、所述触控侦测子模块的第二端和第一参考信号端相连，所述驱动子模块的第三端分别与所述数据写入子模块的第三端、所述触控侦测子模块的第三端和所述发光控制子模块的第一端相连；

所述数据写入子模块的第四端与复位信号端相连，所述数据写入子模块的第五端与扫描信号端相连，所述数据写入子模块的第六端与数据信号端相连；在所述复位信号端、所述扫描信号端和所述数据信号端的控制下，所述数据写入子模块向所述驱动子模块的第一端传输数据信号；

所述触控侦测子模块的第四端与触控控制信号端相连，所述触控侦测子模块的第五端与触控信号读取端相连；在所述触控控制信号端的控制下，所述触控侦测子模块控制所述驱动子模块向所述触控信号读取端输出触控侦测信号，所述触控侦测信号随着照射到所述光敏器件光强的增大而减小；

所述发光控制子模块的第二端与第二参考信号端相连，所述发光控制子模块的第三端与发光控制信号端相连；在所述发光控制信号端的控制下，所述发光控制子模块控制所述驱动子模块驱动所述发光器件发光。

2. 如权利要求 1 所述的像素电路，其特征在于，所述驱动子模块的第一端和第二端为信号输入端，所述驱动子模块的第三端为信号输出端；

所述数据写入子模块的第一端为信号输出端，所述数据写入子模块的第二端、第三端、第四端、第五端和第六端为信号输入端；

所述触控侦测子模块的第一端为信号输入端，第二端为信号输出端，或，所述触控侦测子模块的第一端为信号输出端，第二端为信号输入端；所述触控侦测子模块的第三端和第四端为信号输入端，所述触控侦测子模块的第五端为信号输出端；

所述发光控制子模块的第一端为信号输入端，第二端为信号输出端，或，所述发光控制子模块的第一端为信号输出端，第二端为信号输入端；所述发光控制子模块的第三端为信号输入端。

3. 如权利要求 2 所述的像素电路，其特征在于，所述驱动子模块具体包括：驱动晶体管；其中，

所述驱动晶体管的栅极为所述驱动子模块的第一端，所述驱动晶体管的源极为所述驱动子模块的第二端，所述驱动晶体管的漏极为所述驱动子模块的第三端。

4. 如权利要求 3 所述的像素电路，其特征在于，所述驱动晶体管为 N 型晶体管，所述第一参考信号端的电压为负电压或零电压，所述第二参考信号端的电压为正电压；或

所述驱动晶体管为 P 型晶体管，所述第一参考信号端的电压为正电压，所述第二参考信号端的电压为负电压或零电压。

5. 如权利要求 1 或 2 所述的像素电路，其特征在于，所述数据写入子模块具体包括：第一开关晶体管、第二开关晶体管、第一电容和第二电容；其中，

所述第一开关晶体管的栅极与所述复位信号端相连，所述第一开关晶体管的源极与

所述驱动子模块的第三端相连，所述第一开关晶体管的漏极分别与所述驱动子模块的第一端、所述第一电容的第一端和所述第二电容的第一端相连；

所述第二开关晶体管的栅极与所述扫描信号端相连，所述第二开关晶体管的源极与所述数据信号端相连，所述第二开关晶体管的漏极与所述第一电容的第二端相连；

所述第二电容的第二端分别与所述第一参考信号端、所述驱动子模块的第二端相连和所述触控侦测子模块的第二端相连。

6. 如权利要求 5 所述的像素电路，其特征在于，所述第一开关晶体管为 N 型晶体管或 P 型晶体管；所述第二开关晶体管为 N 型晶体管或 P 型晶体管。

7. 如权利要求 1 或 2 所述的像素电路，其特征在于，所述触控侦测子模块还包括：第三开关晶体管和第四开关晶体管；其中，

所述第三开关晶体管的栅极与所述触控控制信号端相连，所述第三开关晶体管的漏极与所述光敏器件的第一端相连；

所述第三开关晶体管的源极与所述驱动子模块的第一端相连，所述光敏器件的第二端与所述第一参考信号端相连；或，所述第三开关晶体管的源极与所述第一参考信号端相连，所述光敏器件的第二端与所述驱动子模块的第一端相连；

所述第四开关晶体管的栅极与所述触控控制信号端相连，所述第四开关晶体管的源极与所述驱动子模块的第三端相连，所述第四开关晶体管的漏极与所述触控信号读取端相连。

8. 如权利要求 7 所述像素电路，其特征在于，所述第三开关晶体管和所述第四开关晶体管为 N 型晶体管；或，所述第三开关晶体管和所述第四开关晶体管为 P 型晶体管。

9. 如权利要求 1 或 2 所述的像素电路，其特征在于，所述发光控制子模块还包括：第五开关晶体管；其中，

所述第五开关晶体管的栅极与所述发光控制信号端相连，所述第五开关晶体管的漏极与所述发光器件的第一端相连；

所述第五开关晶体管的源极与所述驱动子模块的第三端相连，所述发光器件的第二端与所述第二参考信号端相连；或，所述第五开关晶体管的源极与所述第二参考信号端相连；所述发光器件的第二端与所述驱动子模块的第三端相连。

10. 如权利要求 9 所述的像素电路，其特征在于，所述第五开关晶体管为 N 型晶体管或 P 型晶体管。

11. 一种有机电致发光显示面板，其特征在于，包括如权利要求 1-10 任一项所述的像素电路。

12. 一种显示装置，其特征在于，包括如权利要求 11 所述的有机电致发光显示面板。

## 一种像素电路、有机电致发光显示面板及显示装置

### 技术领域

[0001] 本发明涉及显示技术领域，尤其涉及一种像素电路、有机电致发光显示面板及显示装置。

### 背景技术

[0002] 随着显示器件正朝着轻薄化、高解析化、智能化、节能化的发展，触摸屏(Touch Screen Panel)的使用越来越广。目前，内嵌式触摸屏(In Cell Touch Panel)由于将触控部件内嵌在显示屏内部，可以减薄模组整体的厚度，又可以大大降低触摸屏的制作成本，受到各大面板厂家的青睐。而有机发光二极管(Organic Light Emitting Diode,OLED)显示面板则因具有功耗低、亮度高、成本低、视角广，以及响应速度快等优点，而备受关注。

[0003] 在现有的内嵌式触摸屏OLED显示面板中，一般用以实现其显示驱动和触控驱动的电路是分别设计的，即一套电路用以实现触控功能，另一套电路用以实现OLED的显示驱动功能，而分别设置显示驱动电路和触控电路，会存在制作成本较高，显示屏较重，且比较厚的缺点。

### 发明内容

[0004] 本发明实施例提供了一种像素电路、有机电致发光显示面板及显示装置，用以实现集成触控和显示功能的像素电路。

[0005] 本发明实施例提供了一种像素电路，包括：驱动子模块，数据写入子模块，具有光敏器件的触控侦测子模块，以及具有发光器件的发光控制子模块；其中，

[0006] 所述驱动子模块的第一端分别与所述数据写入子模块的第一端和所述触控侦测子模块的第一端相连，所述驱动子模块的第二端分别与所述数据写入子模块的第二端、所述触控侦测子模块的第二端和第一参考信号端相连，所述驱动子模块的第三端分别与所述数据写入子模块的第三端、所述触控侦测子模块的第三端和所述发光控制子模块的第一端相连；

[0007] 所述数据写入子模块的第四端与复位信号端相连，所述数据写入子模块的第五端与扫描信号端相连，所述数据写入子模块的第六端与数据信号端相连；在所述复位信号端、所述扫描信号端和所述数据信号端的控制下，所述数据写入子模块向所述驱动子模块的第一端传输数据信号；

[0008] 所述触控侦测子模块的第四端与触控控制信号端相连，所述触控侦测子模块的第五端与触控信号读取端相连；在所述触控控制信号端的控制下，所述触控侦测子模块控制所述驱动子模块向所述触控信号读取端输出触控侦测信号，所述触控侦测信号随着照射到所述光敏器件光强的增大而减小；

[0009] 所述发光控制子模块的第二端与第二参考信号端相连，所述发光控制子模块的第三端与发光控制信号端相连；在所述发光控制信号端的控制下，所述发光控制子模块控制所述驱动子模块驱动所述发光器件发光。

[0010] 本发明实施例提供的一种像素电路，该像素电路在复位信号端、扫描信号端和数据信号端的控制下，数据写入子模块向驱动子模块的第一端传输数据信号；在触控控制信号端的控制下，触控侦测子模块控制驱动子模块向触控信号读取端输出触控侦测信号，触控侦测信号随着照射到光敏器件光强的增大而减小，实现触控侦测功能；在发光控制信号端的控制下，发光控制子模块控制驱动子模块驱动发光器件发光，实现显示驱动功能。该像素电路集成了触控与显示功能，这样可以节省分别设置显示驱动电路和触控电路的制作成本，还可以减薄显示面板的厚度。

[0011] 较佳地，为了便于实施，在本发明实施例提供的上述像素电路中，所述驱动子模块的第一端和第二端为信号输入端，所述驱动子模块的第三端为信号输出端；

[0012] 所述数据写入子模块的第一端为信号输出端，所述数据写入子模块的第二端、第三端、第四端、第五端和第六端为信号输入端；

[0013] 所述触控侦测子模块的第一端为信号输入端，第二端为信号输出端，或，所述触控侦测子模块的第一端为信号输出端，第二端为信号输入端；所述触控侦测子模块的第三端和第四端为信号输入端，所述触控侦测子模块的第五端为信号输出端；

[0014] 所述发光控制子模块的第一端为信号输入端，第二端为信号输出端，或，所述发光控制子模块的第一端为信号输出端，第二端为信号输入端；所述发光控制子模块的第三端为信号输入端。

[0015] 较佳地，为了便于实施，在本发明实施例提供的上述像素电路中，所述驱动子模块具体包括：驱动晶体管；其中，

[0016] 所述驱动晶体管的栅极为所述驱动子模块的第一端，所述驱动晶体管的源极为所述驱动子模块的第二端，所述驱动晶体管的漏极为所述驱动子模块的第三端。

[0017] 较佳地，为了保证所述驱动晶体管能够正常工作，在所述驱动晶体管为N型晶体管时，所述第一参考信号端的电压为负电压或零电压，所述第二参考信号端的电压为正电压；在所述驱动晶体管为P型晶体管时，所述第一参考信号端的电压为正电压，所述第二参考信号端的电压为负电压或零电压。

[0018] 较佳地，为了便于实施，在本发明实施例提供的上述像素电路中，所述数据写入子模块具体包括：第一开关晶体管、第二开关晶体管、第一电容和第二电容；其中，

[0019] 所述第一开关晶体管的栅极与所述复位信号端相连，所述第一开关晶体管的源极与所述驱动子模块的第三端相连，所述第一开关晶体管的漏极分别与所述驱动子模块的第一端、所述第一电容的第一端和所述第二电容的第一端相连；

[0020] 所述第二开关晶体管的栅极与所述扫描信号端相连，所述第二开关晶体管的源极与所述数据信号端相连，所述第二开关晶体管的漏极与所述第一电容的第二端相连；

[0021] 所述第二电容的第二端分别与所述第一参考信号端、所述驱动子模块的第二端相连和所述触控侦测子模块的第二端相连。

[0022] 具体地，在具体实施时，在本发明实施例提供的上述像素电路中，所述第一开关晶体管为N型晶体管或P型晶体管；和/或，所述第二开关晶体管为N型晶体管或P型晶体管。

[0023] 较佳地，为了便于实施，在本发明实施例提供的上述像素电路中，所述触控侦测子模块还包括：第三开关晶体管和第四开关晶体管；其中，

[0024] 所述第三开关晶体管的栅极与所述触控控制信号端相连,所述第三开关晶体管的漏极与所述光敏器件的第一端相连;

[0025] 所述第三开关晶体管的源极与所述驱动子模块的第一端相连,所述光敏器件的第二端与所述第一参考信号端相连;或,所述第三开关晶体管的源极与所述第一参考信号端相连,所述光敏器件的第二端与所述驱动子模块的第一端相连;

[0026] 所述第四开关晶体管的栅极与所述触控控制信号端相连,所述第四开关晶体管的源极与所述驱动子模块的第三端相连,所述第四开关晶体管的漏极与所述触控信号读取端相连。

[0027] 具体地,在具体实施时,在本发明实施例提供的上述像素电路中,所述第三开关晶体管和所述第四开关晶体管为N型晶体管;或,所述第三开关晶体管和所述第四开关晶体管为P型晶体管。

[0028] 较佳地,为了便于实施,在本发明实施例提供的上述像素电路中,所述发光控制子模块还包括:第五开关晶体管;其中,

[0029] 所述第五开关晶体管的栅极与所述发光控制信号端相连,所述第五开关晶体管的漏极与所述发光器件的第一端相连;

[0030] 所述第五开关晶体管的源极与所述驱动子模块的第三端相连,所述发光器件的第二端与所述第二参考信号端相连;或,所述第五开关晶体管的源极与所述第二参考信号端相连;所述发光器件的第二端与所述驱动子模块的第三端相连。

[0031] 具体地,在具体实施时,在本发明实施例提供的上述像素电路中,所述第五开关晶体管为N型晶体管或P型晶体管。

[0032] 本发明实施例提供的一种有机电致发光显示面板,包括本发明实施例提供的像素电路。

[0033] 本发明实施例提供的一种显示装置,包括本发明实施例提供的有机电致发光显示面板。

## 附图说明

[0034] 图1为本发明实施例提供的像素电路的结构示意图;

[0035] 图2a为本发明实施例提供的像素电路的具体结构示意图之一;

[0036] 图2b为本发明实施例提供的像素电路的具体结构示意图之二;

[0037] 图2c为本发明实施例提供的像素电路的电路时序图之一;

[0038] 图3a为本发明实施例提供的像素电路的具体结构示意图之三;

[0039] 图3b为本发明实施例提供的像素电路的具体结构示意图之四;

[0040] 图3c为本发明实施例提供的像素电路的电路时序图之二;

[0041] 图4a为本发明实施例提供的像素电路的具体结构示意图之五;

[0042] 图4b为本发明实施例提供的像素电路的具体结构示意图之六;

[0043] 图4c为本发明实施例提供的像素电路的电路时序图之三;

[0044] 图5a为本发明实施例提供的像素电路的具体结构示意图之七;

[0045] 图5b为本发明实施例提供的像素电路的具体结构示意图之八;

[0046] 图5c为本发明实施例提供的像素电路的电路时序图之四。

## 具体实施方式

[0047] 下面结合附图,对本发明实施例提供的像素电路、有机电致发光显示面板及显示装置的具体实施方式进行详细地说明。

[0048] 本发明实施例提供的一种像素电路,如图1所示,包括:驱动子模块1、数据写入子模块2、具有光敏器件的触控侦测子模块3,以及具有发光器件的发光控制子模块4(图1中未示出光敏器件和发光器件);其中,

[0049] 驱动子模块1的第一端1a分别与数据写入子模块2的第一端2a和触控侦测子模块3的第一端3a相连,驱动子模块1的第二端1b分别与数据写入子模块2的第二端2b、触控侦测子模块3的第二端3b和第一参考信号端Ref1相连,驱动子模块1的第三端1c分别与数据写入子模块2的第三端2c、触控侦测子模块3的第三端3c和发光控制子模块4的第一端4a相连;

[0050] 数据写入子模块2的第四端2d与复位信号端Reset相连,数据写入子模块2的第五端2e与扫描信号端Scan相连,数据写入子模块2的第六端2f与数据信号端Data相连;在复位信号端Reset、扫描信号端Scan和数据信号端Data的控制下,数据写入子模块2数据写入子模块2向驱动子模块1的第一端1a传输数据信号;

[0051] 触控侦测子模块3的第四端3d与触控控制信号端Select相连,触控侦测子模块3的第五端3e与触控信号读取端Sensor相连;在触控控制信号端Select的控制下,触控侦测子模块3控制驱动子模块1向触控信号读取端Sensor输出触控侦测信号,该触控侦测信号随着照射到光敏器件光强的增大而减小;

[0052] 发光控制子模块4的第二端4b与第二参考信号端Ref2相连,发光控制子模块4的第三端4c与发光控制信号端EM相连;在发光控制信号端EM的控制下,发光控制子模块4控制驱动子模块1驱动发光器件发光。

[0053] 本发明实施例提供的上述像素电路,在复位信号端Reset、扫描信号端Scan和数据信号端Data的控制下,数据写入子模块2向驱动子模块1的第一端1a传输数据信号;在触控控制信号端Select的控制下,触控侦测子模块3控制驱动子模块1向触控信号读取端Sensor输出触控侦测信号,该触控侦测信号随着照射到光敏器件光强的增大而减小,实现触控侦测功能;在发光控制信号端EM的控制下,发光控制子模块4控制驱动子模块1驱动发光器件发光,实现显示驱动功能。该像素电路集成了触控与显示功能,这样可以节省分别设置显示驱动电路和触控电路的制作成本,还可以减薄显示面板的厚度。

[0054] 具体地,在具体实施时,本发明实施例提供的上述像素电路,驱动子模块1的第一端1a和第二端1b为信号输入端,驱动子模块1的第三端1c为信号输出端;

[0055] 数据写入子模块2的第一端2a为信号输出端,数据写入子模块2的第二端2b、第三端2c、第四端2d、第五端2e和第六端2f为信号输入端;

[0056] 触控侦测子模块3的第一端3a为信号输入端,第二端3b为信号输出端,或,触控侦测子模块3的第一端3a为信号输出端,第二端3b为信号输入端;触控侦测子模块3的第三端3c和第四端3d为信号输入端,触控侦测子模块3的第五端3e为信号输出端;

[0057] 发光控制子模块4的第一端4a为信号输入端,第二端4b为信号输出端,或,发光控制子模块4的第一端4a为信号输出端,第二端4b为信号输入端;发光控制子模块4的第

三端 4c 为信号输入端。

[0058] 具体地,本发明实施例提供的上述像素电路,第一参考信号端 Ref1 的信号一般为直流信号,即第一参考信号端 Ref1 与直流信号源相连;第二参考信号端 Ref2 的信号一般也为直流信号,即第二参考信号端 Ref2 与直流信号源相连。

[0059] 在具体实施时,本发明实施例提供的上述像素电路中的驱动控制子模块 1,如图 1 所示,可以具体包括:驱动晶体管 T0;其中,

[0060] 驱动晶体管 T0 的栅极为驱动子模块 1 的第一端 1a,驱动晶体管 T0 的源极为驱动子模块 1 的第二端 1b,驱动晶体管 T0 的漏极为驱动子模块 1 的第三端 1c。当然,驱动子模块 1 也可以是能够实现其驱动控制功能的其它结构,在此不做限定。

[0061] 需要说明的是,在具体实施时,驱动晶体管 T0 可以为 N 型晶体管,也可以为 P 型晶体管,在此不做限定。为了保证驱动晶体管 T0 能正常工作,当驱动晶体管 T0 为 N 型晶体管时,其阈值电压  $V_{th}$  为正值,且第一参考信号端 Ref1 的电压为负电压或零电压,第二参考信号端 Ref2 的电压为正电压;当驱动晶体管 T0 为 P 型晶体管时,其阈值电压  $V_{th}$  为负值,且第一参考信号端 Ref1 的电压为正电压,第二参考信号端 Ref2 的电压为负电压或零电压。

[0062] 具体地,本发明实施例提供的上述像素电路的工作分为触控和显示两个阶段。上述像素电路在工作时可以先执行触控阶段的工作,然后执行显示阶段的工作;也可以先执行显示阶段的工作,然后执行触控阶段的工作,在此不做限定。

[0063] 下面对本发明实施例提供的上述像素电路在触控阶段和显示阶段的工作原理进行简要介绍。

[0064] 在触控阶段,上述像素电路的工作具体分为三个阶段:

[0065] 第一阶段:初始化阶段,在此阶段中像素电路实现了数据写入子模块 2 的初始化。在此阶段中触控侦测子模块 3 和发光控制子模块 4 处于关闭状态,数据写入子模块 2 在复位信号端 Reset、扫描信号端 Scan 和数据信号端 Data 的控制下进行复位,使数据写入子模块 2 的第一端 2a 向驱动晶体管 T0 的栅极输入初始电压值。

[0066] 第二阶段:数据写入阶段,在此阶段中像素电路实现了对驱动晶体管 T0 栅极的数据写入。在此阶段,触控侦测子模块 3 和发光控制子模块 4 处于关闭状态,数据写入子模块 2 在扫描信号端 Scan 的控制下处于开启状态,数据写入子模块 2 向驱动子模块 1 的第一端 1a 传输数据信号。

[0067] 第三阶段:触控侦测阶段,在此阶段中数据写入子模块 2 和发光控制子模块 4 处于关闭状态,触控侦测子模块 3 处于开启状态,开启的触控侦测子模块 3 控制驱动晶体管 T0 向触控信号读取端 Sensor 输出触控侦测信号,该触控侦测信号随着照射到光敏器件的光强的增大而减小,实现触控的侦测。

[0068] 在显示阶段,上述像素电路的工作具体也分为三个阶段:

[0069] 第一阶段:初始化阶段,在此阶段中像素电路实现了数据写入子模块 2 的初始化。在此阶段中触控侦测子模块 3 和发光控制子模块 4 处于关闭状态,数据写入子模块 2 在复位信号端 Reset 的控制下进行复位,使数据写入子模块 2 的第一端 2a 向驱动晶体管 T0 的栅极输入初始电压值。

[0070] 第二阶段:数据写入阶段,在此阶段中像素电路实现了对驱动晶体管 T0 栅极的数据写入。在此阶段,触控侦测子模块 3 和发光控制子模块 4 处于关闭状态,数据写入子模块

2 在扫描信号端 Scan 的控制下处于开启状态, 数据写入子模块 2 向驱动子模块 1 的第一端 1a 传输数据信号。

[0071] 第三阶段: 发光驱动阶段, 在此阶段中数据写入子模块 2 和触控侦测子模块 3 处于关闭状态, 发光控制子模块 4 处于导通状态, 具有发光器件的发光控制子模块 4 与驱动晶体管 T0 的漏极相连, 发光控制子模块 4 控制驱动晶体管 T0 驱动发光器件发光, 实现了显示功能。

[0072] 下面对本发明实施例提供的上述像素电路中的数据写入子模块 2、触摸侦测子模块 3 和发光控制子模块 4 的具体结构和工作原理进行详细说明。

[0073] 具体地, 在本发明实施例提供的上述像素电路中, 数据写入子模块 2, 如图 2a、图 2b、图 3a、图 3b、图 4a、图 4b、图 5a 和图 5b 所示, 可以具体包括: 第一开关晶体管 T1、第二开关晶体管 T2、第一电容 Cst1 和第二电容 Cst2; 其中,

[0074] 第一开关晶体管 T1 的栅极与复位信号端 Reset 相连, 第一开关晶体管 T1 的源极与驱动子模块 1 的第三端 1c 相连, 第一开关晶体管 T1 的漏极分别与驱动子模块的第一端 1a、第一电容 Cst1 的第一端 x1 和第二电容 Cst2 的第一端 y1 相连;

[0075] 第二开关晶体管 T2 的栅极与扫描信号端 Scan 相连, 第二开关晶体管 T2 的源极与数据信号端 Data 相连, 第二开关晶体管 T2 的漏极与第一电容 Cst1 的第二端 x2 相连;

[0076] 第二电容 Cst2 的第二端 y2 分别与第一参考信号端 Ref1、驱动子模块 1 的第二端 1b 和触控侦测子模块 3 的第二端 3b 相连。

[0077] 具体地, 在具体实施时, 第一开关晶体管 T1 可以为 N 型晶体管, 如图 2a、图 2b、图 5a 和图 5b 所示; 第一开关晶体管 T1 也可以为 P 型晶体管, 如图 3a、图 3b、图 4a 和图 4b 所示, 在此不做限定。当第一开关晶体管 T1 为 N 型晶体管时, 在复位信号端 Reset 的信号为高电平时, 第一开关晶体管 T1 处于开启状态; 当第一开关晶体管 T1 为 P 型晶体管时, 在复位信号端 Reset 的信号为低电平时, 第一开关晶体管 T1 处于开启状态。

[0078] 具体地, 在具体实施时, 第二开关晶体管 T2 可以为 N 型晶体管, 如图 2a、图 2b、图 5a 和图 5b 所示; 第二开关晶体管 T2 也可以为 P 型晶体管, 如图 3a、图 3b、图 4a 和图 4b 所示, 在此不做限定。当第二开关晶体管 T2 为 N 型晶体管时, 在扫描信号端 Scan 的信号为高电平时, 第二开关晶体管 T2 处于开启状态; 当第二开关晶体管 T2 为 P 型晶体管时, 在扫描信号端 Scan 的信号为低电平时, 第二开关晶体管 T2 处于开启状态。

[0079] 进一步, 在具体实施时, 在本发明实施例提供的上述像素电路中, 为了保证驱动晶体管 T0 能够正常工作, 当驱动晶体管 T0 为 N 型晶体管时, 数据信号端 Data 在数据写入阶段的信号应该为高电平信号; 当驱动晶体管 T0 为 P 型晶体管时, 数据信号端 Data 在数据写入阶段的信号应该为低电平信号。

[0080] 具体地, 在本发明实施例提供的上述像素电路中, 触控侦测子模块 3, 如图 2a、图 2b、图 3a、图 3b、图 4a、图 4b、图 5a 和图 5b 所示, 还可以具体包括: 第三开关晶体管 T3 和第四开关晶体管 T4; 其中,

[0081] 第三开关晶体管 T3 的栅极与触控控制信号端 Select 相连, 第三开关晶体管 T3 的漏极与光敏器件的第一端 p1 相连;

[0082] 第三开关晶体管 T3 的源极与驱动子模块 1 的第一端 1a 相连, 光敏器件的第二端 p2 与第一参考信号端 Ref1 相连, 如图 2a、图 3a、图 4a 和图 5a 所示; 或, 第三开关晶体管 T3

的源极与第一参考信号端 Ref1 相连,光敏器件的第二端 p2 与驱动子模块 1 的第一端 1a 相连,如图 2b、图 3b、图 4b 和图 5b 所示;

[0083] 第四开关晶体管 T4 的栅极与触控控制信号端 Select 相连,第四开关晶体管 T4 的源极与驱动子模块 1 的第三端 1c 相连,第四开关晶体管 T4 的漏极与触控信号读取端 Sensor 相连。

[0084] 较佳地,在具体实施时,本发明实施例提供的上述像素电路,如图 2a、图 2b、图 3a、图 3b、图 4a、图 4b、图 5a 和图 5b 所示,光敏器件具体可以为光电二极管 PD(Photo Diode),所用器件简单,实现方便且成本低。

[0085] 具体地,在具体实施时,在上述触控侦测子模块 3 中,光电二极管 PD 和第三晶体管 T3 的位置是可以互换的。为了保证光电二极管 PD 工作时处于反向偏压的状态,在驱动晶体管 T0 为 N 型晶体管时,光电二极管 PD 的阴极与第三开关晶体管 T3 的漏极相连,光电二极管 PD 的阳极与第一参考信号端 Ref1 相连,如图 2a 和图 3a 所示;或者,光电二极管 PD 和第三晶体管 T3 互换位置,如图 2b 和图 3b 所示,光电二极管 PD 的阳极与第三开关晶体管 T3 的漏极相连,光电二极管 PD 的阴极与驱动晶体管 T0 的栅极相连。在驱动晶体管 T0 为 P 型晶体管时,光电二极管 PD 的阳极与第三开关晶体管 T3 的漏极相连,光电二极管 PD 的阴极与第一参考信号端 Ref1 相连,如图 4a 和图 5a 所示;或者,光电二极管 PD 和第三晶体管 T3 互换位置,如图 4b 和图 5b 所示,光电二极管 PD 的阴极与第三开关晶体管 T3 的漏极相连,光电二极管 PD 的阳极与驱动晶体管 T0 的栅极相连。

[0086] 需要说明的是,光电二极管 PD 在反向偏压且有光照时才会开启。光电二极管 PD 的工作原理为:处于反向偏压的光电二极管 PD 在有光照时,即无触摸时,在光电效应的作用下光电二极管 PD 产生光生载流子,形成较大的反向电流,照射到光电二极管 PD 的光强越大,光电二极管 PD 产生的反向电流越大。

[0087] 具体地,在具体实施时,第三开关晶体管 T3 和第四开关晶体管 T4 可以为 N 型晶体管,如图 2a、图 2b、图 5a 和图 5b 所示;第三开关晶体管 T3 和第四开关晶体管 T4 也可以为 P 型晶体管,如图 3a、图 3b、图 4a 和图 4b 所示,在此不做限定。

[0088] 进一步地,在具体实施时,当第三开关晶体管 T3 和第四开关晶体管 T4 为 N 型晶体管时,在触控控制信号端 Select 的信号为高电平时,第三开关晶体管 T3 和第四开关晶体管 T4 处于开启状态;当第三开关晶体管 T3 和第四开关晶体管 T4 为 P 型晶体管时,在触控控制信号端 Select 的信号为低电平时,第三开关晶体管 T3 和第四开关晶体管 T4 处于开启状态。

[0089] 具体地,在本发明实施例提供的上述像素电路中,发光控制子模块 4,如图 2a、图 2b、图 3a、图 3b、图 4a、图 4b、图 5a 和图 5b 所示,还可以具体包括:第五开关晶体管 T5;其中,

[0090] 第五开关晶体管 T5 的栅极与发光控制信号端 EM 相连,第五开关晶体管 T5 的漏极与发光器件的第一端 z1 相连;第五开关晶体管 T5 的源极与驱动子模块 1 的第三端 1c 相连;

[0091] 发光器件的第二端 z2 与第二参考信号端 Ref2 相连,如图 2a、图 3a、图 4a 和图 5a 所示,或,第五开关晶体管 T5 的源极与第二参考信号端 Ref2 相连;发光器件的第二端 z2 与驱动子模块 1 的第三端 1c 相连,如图 2b、图 3b、图 4b 和图 5b 所示。

[0092] 在具体实施时,本发明实施例提供的上述像素电路中的发光器件一般为有机发光二极管(OLED),发光器件在驱动晶体管T0开态电流的作用下实现发光显示。

[0093] 进一步地,在具体实施时,在上述发光控制子模块4中,OLED和第五开关晶体管T5的位置时可以互换的,为了保证OLED能够正常发光,在驱动晶体管T0为N型晶体管时,OLED的阴极与第五开关晶体管T5的漏极相连,OLED的阳极与第二参考信号端Ref2相连,如图2a和图3a所示;或者,OLED和第五开关晶体管T5互换位置,如图2b和图3b所示,OLED的阳极与第五开关晶体管T5的漏极相连,OLED的阴极与驱动子模块1的第三端1c相连。在驱动晶体管T0为P型晶体管时,OLED的阳极与第五开关晶体管T5的漏极相连,OLED的阴极与第二参考信号端Ref2相连,如图4a和图5a所示;或者,OLED和第五开关晶体管T5互换位置,如图4b和图5b所示,OLED的阴极与第五开关晶体管T5的漏极相连,OLED的阳极与驱动子模块1的第三端1相连。

[0094] 具体地,在具体实施时,第五开关晶体管T5可以为N型晶体管,如图2a、图2b、图5a和图5b所示;第五开关晶体管T5也可以为P型晶体管,如图3a、图3b、图4a和图4b所示,在此不做限定。当第五开关晶体管T5为N型晶体管时,在发光控制信号端EM输出的信号为高电平时,第五开关晶体管T5处于开启状态;当第五开关晶体管T5为P型晶体管时,在发光控制信号端EM输出的信号为低电平时,第五开关晶体管T5处于开启状态。

[0095] 需要说明的是在本发明实施例提供的上述像素电路中,提到的驱动晶体管和开关晶体管可以是薄膜晶体管(TFT, Thin Film Transistor),也可以是金属氧化物半导体场效应管(MOS, Metal Oxide Semiconductor),在此不做限定。并且这些晶体管的源极和漏极可以互换,不做具体区分。

[0096] 下面通过几个具体实例对本发明实施例提供的上述像素电路的具体工作原理进行详细的说明。在以下实例中,当驱动晶体管T0为N型晶体管时,第一参考信号端Ref1的电压值V<sub>ss</sub>≤0,第二参考信号端Ref2的电压值V<sub>DD</sub>>0;当驱动晶体管T0为P型晶体管时,第一参考信号端Ref1的电压值V<sub>DD</sub>>0,第二参考信号端Ref2的电压值V<sub>ss</sub>≤0。

[0097] 实例一:

[0098] 如图2a和图2b所示,驱动晶体管T0为N型晶体管,第一晶体管T1、第二开关晶体管T2、第三开关晶体管T3、第四开关晶体管T4和第五开关晶体管T5也为N型晶体管。图2c为图2a和图2b的电路时序图,其中,扫描信号端Scan的电压为V<sub>Scan</sub>,数据信号端Data的电压为V<sub>Data</sub>,复位信号端Reset的电压为V<sub>Reset</sub>,触控控制信号端Select的电压为V<sub>Select</sub>,发光控制信号端EM的电压为V<sub>EM</sub>,驱动晶体管T0的栅极在有触摸时电压为V<sub>A1</sub>,驱动晶体管T0的栅极在无触摸时电压为V<sub>A2</sub>。

[0099] 具体地,像素电路的工作原理如下:

[0100] 在触控阶段的初始化阶段即触控阶段的第一阶段1,此时,复位信号端Reset的电压V<sub>Reset</sub>处于高电平,触控控制信号端Select的电压V<sub>Select</sub>和发光控制信号端EM的电压V<sub>EM</sub>处于低电平,第一开关晶体管T1处于开启状态,第三开关晶体管T3、第四开关晶体管T4以及第五开关晶体管T5处于关闭状态。开启的第一开关晶体管T1使驱动晶体管T0变为二极管的连接方式。扫描信号端Scan的电压V<sub>Scan</sub>由短暂的高电平变为低电平,同时数据信号端Data的电压V<sub>Data</sub>与扫描信号端的电压同步的由短暂的高电平变为低电平,使变为二极管连接方式的驱动晶体管T0导通。这时,第二电容Cst2的第二端y2直接与第一参考信号端

Ref1 相连,第二电容 Cst2 第二端 y2 的电压为  $V_{ss}$ 。同时,第一参考信号端 Ref1 的电压  $V_{ss}$  经驱动晶体管 T0 和第一开关晶体管 T1 开始对第二电容 Cst2 充电,充至第二电容 Cst2 的第一端 y1 的电压值  $V_A$  为  $V_{ss}+V_{th}$  时驱动晶体管 T0 关闭,其中,驱动晶体管 T0 的阈值电压为  $V_{th}$ ,此时,第二电容 Cst2 上的电压差为  $V_{th}$ ,实现了在第二电容 Cst2 的第一端 y1 处驱动晶体管 T0 的阈值电压的存储,使数据写入子模块 2 处于初始化状态。此时,光电二极管 PD 处于断开状态,无论光电二极管 PD 有无触摸,驱动晶体管 T0 的栅极电压  $V_{A1}$  和  $V_{A2}$  都为  $V_{ss}+V_{th}$ 。

[0101] 在触控阶段的数据写入阶段即触控阶段的第二阶段 2,此时,扫描信号端 Scan 的电压  $V_{Scan}$  和数据信号端 Data 的电压  $V_{Data}$  处于高电平,复位信号端 Reset 的电压  $V_{Reset}$ ,触控控制信号端 Select 的电压  $V_{Select}$  以及发光控制信号端 EM 的电压  $V_{EM}$  处于低电平,第二开关晶体管 T2 处于开启状态,第一开关晶体管 T1、第三开关晶体管 T3、第四开关晶体管 T4 以及第五开关晶体管 T5 处于关闭状态。第二电容 Cst2 的第二端 y2 直接与第一参考信号端 Ref1 相连,第二电容 Cst2 的第二端 y2 的电压为  $V_{ss}$ 。由数据信号端 Data 输出的数据信号  $V_{Data}$  通过第二开关晶体管 T2 的源极写入与其漏极连接的第一电容 Cst1 的第二端 x2,使第一电容 Cst1 的第二端 x2 的电压变为  $V_{Data}$ ,此时,第一电容 Cst1 和第二电容 Cst2 在其连接处即第二电容 Cst2 的第一端 y1 处的耦合电压为  $V_{Data}[C1/(C1+C2)]+V_{ss}+V_{th}$ ,其中 C1 和 C2 分别为第一电容 Cst1 和第二电容 Cst2 的电容值。第二电容 C2 的第一端 y1 与驱动晶体管 T0 的栅极相连,驱动晶体管 T0 的栅极的电压也为  $V_{Data}[C1/(C1+C2)]+V_{ss}+V_{th}$ ,即在驱动晶体管 T0 的栅极实现了数据写入。此阶段,光电二极管 PD 处于断开状态,无论光电二极管 PD 有无触摸,驱动晶体管 T0 的栅极电压  $V_{A1}$  和  $V_{A2}$  都为  $V_{Data}[C1/(C1+C2)]+V_{ss}+V_{th}$ 。

[0102] 在触控阶段的触控侦测阶段即触控阶段的第三阶段 3,此时,触控控制信号端 Select 的电压  $V_{Select}$  处于高电平,复位信号端 Reset 的电压  $V_{Reset}$ ,扫描信号端 Scan 的电压  $V_{Scan}$ ,数据信号端 Data 的电压  $V_{Data}$  以及发光控制信号端 EM 的电压  $V_{EM}$  处于低电平,第三开关晶体管 T3 和第四开关晶体管 T4 处于开启状态,第一开关晶体管 T1、第二开关晶体管 T2、以及第五开关晶体管 T5 处于关闭状态。

[0103] 此时,若光电二极管 PD 无光照即有触摸,光电二极管 PD 处于断开状态,驱动晶体管 T0 的栅极电压  $V_{A1}$  仍保持为  $V_{Data}[C1/(C1+C2)]+V_{ss}+V_{th}$ ,使驱动晶体管 T0 处于开启状态,第一参考信号端 Ref1 的电压  $V_{ss}$  输入到驱动晶体管 T0 的源极,经驱动晶体管 T0 的漏极输出触控侦测信号,该触控侦测信号又经开启的第四开关晶体管 T4 输出到触控信号读取端 Sensor。

[0104] 此时,若光电二极管 PD 处于光照下即无触摸,在光电效应的作用下光电二极管 PD 产生光生载流子,形成的反向电流使第一电容 Cst1 和第二电容 Cst2 上的电荷减少,导致输入到驱动晶体管 T0 的栅极电压  $V_{A2}$  下降,进而导致由驱动晶体管 T0 输出的、且经第四开关晶体管 T4 输出到触控信号读取端 Sensor 的触控侦测信号变小。该触控侦测信号的大小与照射到该光电二极管 PD 的光强有关,光强越大,触控侦测信号越小。

[0105] 在显示阶段的初始化阶段即显示阶段的第一阶段 1,此时,复位信号端 Reset 的电压  $V_{Reset}$  处于高电平,触控控制信号端 Select 的电压  $V_{Select}$  和发光控制信号端 EM 的电压  $V_{EM}$  处于低电平,第一开关晶体管 T1 处于开启状态,第三开关晶体管 T3、第四开关晶体管 T4 以及第五开关晶体管 T5 处于关闭状态。开启的第一开关晶体管 T1 使驱动晶体管 T0 变为二极管的连接方式。扫描信号端 Scan 的电压  $V_{Scan}$  由短暂的高电平变为低电平,同时数据信号

端 Data 的电压  $V_{Data}$  与扫描信号端的电压同步的由短暂的高电平变为低电平, 使变为二极管连接方式的驱动晶体管 T0 导通。这时, 第二电容 Cst2 的第二端 y2 直接与第一参考信号端 Ref1 相连, 第二电容 Cst2 第二端 y2 的电压为  $V_{ss}$ 。同时, 第一参考信号端 Ref1 的电压  $V_{ss}$  经驱动晶体管 T0 和第一开关晶体管 T1 开始对第二电容 Cst2 充电, 充至第二电容 Cst2 的第一端 y1 的电压值  $V_A$  为  $V_{ss}+V_{th}$  时驱动晶体管 T0 关闭, 其中, 驱动晶体管 T0 的阈值电压为  $V_{th}$ , 此时, 第二电容 Cst2 上的电压差为  $V_{th}$ , 实现了在第二电容 Cst2 的第一端 y1 处驱动晶体管 T0 的阈值电压的存储, 使数据写入子模块 2 处于初始化状态。

[0106] 在显示阶段的数据写入阶段即显示阶段的第二阶段 2, 此时, 扫描信号端 Scan 的电压  $V_{Scan}$  和数据信号端 Data 的电压  $V_{Data}$  处于高电平, 复位信号端 Reset 的电压  $V_{Reset}$ , 触控控制信号端 Select 的电压  $V_{Select}$  以及发光控制信号端 EM 的电压  $V_{EM}$  处于低电平, 第二开关晶体管 T2 处于开启状态, 第一开关晶体管 T1、第三开关晶体管 T3、第四开关晶体管 T4 以及第五开关晶体管 T5 处于关闭状态。第二电容 Cst2 的第二端 y2 直接与第一参考信号端 Ref1 相连, 第二电容 Cst2 的第二端 y2 的电压变为  $V_{ss}$ 。由数据信号端 Data 输出的数据信号  $V_{Data}$  通过第二开关晶体管 T2 的源极写入与其漏极连接的第一电容 Cst1 的第二端 x2, 使第一电容 Cst1 的第二端 x2 的电压变为  $V_{Data}$ , 此时, 第一电容 Cst1 和第二电容 Cst2 在其连接处即第二电容 Cst2 的第一端 y1 处的耦合电压为  $V_{Data}[C1/(C1+C2)]+V_{ss}+V_{th}$ , 其中 C1 和 C2 分别为第一电容 Cst1 和第二电容 Cst2 的电容值。第二电容 Cst2 的第一端 y1 与驱动晶体管 T0 的栅极相连, 驱动晶体管 T0 的栅极的电压也为  $V_{Data}[C1/(C1+C2)]+V_{ss}+V_{th}$ , 即在驱动晶体管 T0 的栅极实现了数据写入。

[0107] 在显示阶段的的发光驱动阶段即显示阶段的第三阶段 3, 此时, 发光控制信号端 EM 的电压  $V_{EM}$  处于高电平, 复位信号端 Reset 的电压  $V_{Reset}$ , 扫描信号端 Scan 的电压  $V_{Scan}$ , 数据信号端 Data 的电压  $V_{Data}$  以及触控控制信号端 Select 的电压  $V_{Select}$  处于低电平, 第一开关晶体管 T1、第二开关晶体管 T2、第三开关晶体管 T3、以及第四开关晶体管 T4 处于关闭状态, 第五开关晶体管 T5 处于开启状态, OLED 导通。驱动晶体管 T0 的栅极电压仍保持为  $V_{Data}[C1/(C1+C2)]+V_{ss}+V_{th}$ , 此时, 驱动晶体管 T0 的栅极和源极之间的电压为  $V_{gs}=V_g-V_s=V_{Data}[C1/(C1+C2)]+V_{th}+V_{ss}-V_{ss}=V_{Data}[C1/(C1+C2)]+V_{th}$ 。

[0108] 由于驱动晶体管 T0 工作处于饱和状态, 根据饱和状态电流特性可知, 驱动晶体管 T0 的开态电流  $i_d$  满足公式:  $i_d=K(V_{gs}-V_{th})^2=K\{V_{Data}[C1/(C1+C2)]+V_{th}-V_{th}\}^2=K\{V_{Data}[C1/(C1+C2)]\}^2$ , 其中 K 为结构参数, 相同结构中此数值相对稳定, 可以算作常量。从公式推导可知, 流经驱动晶体管 T0 的漏电流仅与数据信号端的电压  $V_{Data}$  以及第一电容 Cst1 和第二电容 Cst2 的电容值有关, 与驱动晶体管 T0 的阈值电压  $V_{th}$  无关。因此, 用该开态电流  $i_d$  驱动发光器件发光, 流经各 OLED 的电流相对均匀, 不会因背板制造工艺的原因导致阈值电压  $V_{th}$  不均匀而引起流经各 OLED 的电流不同, 造成亮度不均匀。

[0109] 综上, 上述像素电路在触控阶段, 当光电二极管 PD 在有触摸时, 触控信号读取端 Sensor 输出的触控感测信号比在无触摸时触控信号读取端 Sensor 输出的触控感测信号大, 通过分析像素电路输出的触控感测信号大小可以确定触摸屏有无触摸, 进而确定出触点的位置, 实现了触控侦测功能。上述像素电路在显示阶段, 通过将驱动晶体管 T0 的阈值电压  $V_{th}$  存储于第二电容 Cst2 上, 保证了 OLED 发光的驱动电压与数据信号的电压  $V_{Data}$  有关, 与驱动晶体管 T0 的阈值电压  $V_{th}$  无关, 避免了阈值电压  $V_{th}$  对 OLED 的影响, 即在使用相

同的数据信号加载到不同的像素单元时,能够得到亮度相同的图像,提高了显示装置显示区域图像亮度的均匀性。

[0110] 实例二:

[0111] 如图 3a 和图 3b 所示,驱动晶体管 T0 为 N 型晶体管,第一晶体管 T1、第二开关晶体管 T2、第三开关晶体管 T3、第四开关晶体管 T4 和第五开关晶体管 T5、为 P 型晶体管。图 3c 为图 3a 和图 3b 的电路时序图,其中,扫描信号端 Scan 的电压为  $V_{Scan}$ ,数据信号端 Data 的电压为  $V_{Data}$ ,复位信号端 Reset 的电压为  $V_{Reset}$ ,触控控制信号端 Select 的电压为  $V_{Select}$ ,发光控制信号端 EM 的电压为  $V_{EM}$ ,驱动晶体管 T0 的栅极在有触摸时电压为  $V_{A1}$ ,驱动晶体管 T0 的栅极在无触摸时电压为  $V_{A2}$ 。

[0112] 具体地,像素电路的工作原理如下:

[0113] 在触控阶段的初始化阶段即触控阶段的第一阶段 1,此时,复位信号端 Reset 的电压  $V_{Reset}$  处于低电平,触控控制信号端 Select 的电压  $V_{Select}$  和发光控制信号端 EM 的电压  $V_{EM}$  处于高电平,第一开关晶体管 T1 处于开启状态,第三开关晶体管 T3、第四开关晶体管 T4 以及第五开关晶体管 T5 处于关闭状态。开启的第一开关晶体管 T1 使驱动晶体管 T0 变为二极管的连接方式。扫描信号端 Scan 的电压  $V_{Scan}$  由短暂的低电平变为高电平,同时数据信号端 Data 的电压  $V_{Data}$  与扫描信号端的电压同步的由短暂的高电平变为低电平,使变为二极管连接方式的驱动晶体管 T0 导通。这时,第二电容 Cst2 的第二端 y2 直接与第一参考信号端 Ref1 相连,第二电容 Cst2 第二端 y2 的电压为  $V_{ss}$ 。同时,第一参考信号端 Ref1 的电压  $V_{ss}$  经驱动晶体管 T0 和第一开关晶体管 T1 开始对第二电容 Cst2 充电,充至第二电容 Cst2 的第一端 y1 的电压值  $V_A$  为  $V_{ss}+V_{th}$  时驱动晶体管 T0 关闭,其中,驱动晶体管 T0 的阈值电压为  $V_{th}$ ,此时,第二电容 Cst2 上的电压差为  $V_{th}$ ,实现了在第二电容 Cst2 的第一端 y1 处驱动晶体管 T0 的阈值电压的存储,使数据写入子模块 2 处于初始化状态。此时,光电二极管 PD 处于断开状态,无论光电二极管 PD 有无触摸,驱动晶体管 T0 的栅极电压  $V_{A1}$  和  $V_{A2}$  都为  $V_{ss}+V_{th}$ 。

[0114] 在触控阶段的数据写入阶段即触控阶段的第二阶段 2,此时,扫描信号端 Scan 的电压  $V_{Scan}$  处于低电平,数据信号端 Data 的电压  $V_{Data}$ ,复位信号端 Reset 的电压  $V_{Reset}$ ,触控控制信号端 Select 的电压  $V_{Select}$  以及发光控制信号端 EM 的电压  $V_{EM}$  处于高电平,第二开关晶体管 T2 处于开启状态,第一开关晶体管 T1、第三开关晶体管 T3、第四开关晶体管 T4 以及第五开关晶体管 T5 处于关闭状态。第二电容 Cst2 的第二端 y2 直接与第一参考信号端 Ref1 相连,第二电容 Cst2 的第二端 y2 的电压变为  $V_{ss}$ 。由数据信号端 Data 输出的数据信号  $V_{Data}$  通过第二开关晶体管 T2 的源极写入与其漏极连接的第一电容 Cst1 的第二端 x2,使第一电容 Cst1 的第二端 x2 的电压变为  $V_{Data}$ ,此时,第一电容 Cst1 和第二电容 Cst2 在其连接处即第二电容 Cst2 的第一端 y1 处的耦合电压为  $V_{Data}[C1/(C1+C2)]+V_{ss}+V_{th}$ ,其中 C1 和 C2 分别为第一电容 Cst1 和第二电容 Cst2 的电容值。第二电容 Cst2 的第一端 y1 与驱动晶体管 T0 的栅极相连,驱动晶体管 T0 的栅极的电压也为  $V_{Data}[C1/(C1+C2)]+V_{ss}+V_{th}$ ,即在驱动晶体管 T0 的栅极实现了数据写入。此阶段,光电二极管 PD 处于断开状态,无论光电二极管 PD 有无触摸,驱动晶体管 T0 的栅极电压  $V_{A1}$  和  $V_{A2}$  都为  $V_{Data}[C1/(C1+C2)]+V_{ss}+V_{th}$ 。

[0115] 在触控阶段的触控侦测阶段即触控阶段的第三阶段 3,此时,数据信号端 Data 的电压  $V_{Data}$  和触控控制信号端 Select 的电压  $V_{Select}$  处于低电平,复位信号端 Reset 的电压  $V_{Reset}$ ,扫描信号端 Scan 的电压  $V_{Scan}$ ,以及发光控制信号端 EM 的电压  $V_{EM}$  处于高电平,第三开

关晶体管 T3 和第四开关晶体管 T4 处于开启状态, 第一开关晶体管 T1、第二开关晶体管 T2、以及第五开关晶体管 T5 处于关闭状态。

[0116] 此时, 若光电二极管 PD 无光照即有触摸, 光电二极管 PD 处于断开状态, 驱动晶体管 T0 的栅极电压  $V_{A1}$  仍保持为  $V_{Data} [C1/(C1+C2)] + V_{SS} + V_{th}$ , 使驱动晶体管 T0 处于开启状态, 第一参考信号端 Ref1 的电压  $V_{SS}$  输入到驱动晶体管 T0 的源极, 经驱动晶体管 T0 的漏极输出触控侦测信号, 该触控侦测信号又经开启的第四开关晶体管 T4 输出到触控信号读取端 Sensor。

[0117] 此时, 若光电二极管 PD 处于光照下即无触摸, 在光电效应的作用下光电二极管 PD 产生光生载流子, 形成的反向电流使第一电容 Cst1 和第二电容 Cst2 上的电荷减少, 导致输入到驱动晶体管 T0 的栅极电压  $V_{A2}$  下降, 进而导致由驱动晶体管 T0 输出的、且经第四开关晶体管 T4 输出到触控信号读取端 Sensor 的触控侦测信号变小。该触控侦测信号的大小与照射到该光电二极管 PD 的光强有关, 光强越大, 触控侦测信号越小。

[0118] 在显示阶段的初始化阶段即显示阶段的第一阶段 1, 此时, 复位信号端 Reset 的电压  $V_{Reset}$  处于低电平, 触控控制信号端 Select 的电压  $V_{Select}$  和发光控制信号端 EM 的电压  $V_{EM}$  处于高电平, 第一开关晶体管 T1 处于开启状态, 第三开关晶体管 T3、第四开关晶体管 T4 以及第五开关晶体管 T5 处于关闭状态。开启的第一开关晶体管 T1 使驱动晶体管 T0 变为二极管的连接方式。扫描信号端 Scan 的电压  $V_{Scan}$  由短暂的低电平变为高电平, 同时数据信号端 Data 的电压  $V_{Data}$  与扫描信号端的电压同步的由短暂的高电平变为低电平, 使变为二极管连接方式的驱动晶体管 T0 导通。这时, 第二电容 Cst2 的第二端 y2 直接与第一参考信号端 Ref1 相连, 第二电容 Cst2 第二端 y2 的电压为  $V_{SS}$ 。同时, 第一参考信号端 Ref1 的电压  $V_{SS}$  经驱动晶体管 T0 和第一开关晶体管 T1 开始对第二电容 Cst2 充电, 充至第二电容 Cst2 的第一端 y1 的电压值  $V_A$  为  $V_{SS} + V_{th}$  时驱动晶体管 T0 关闭, 其中, 驱动晶体管 T0 的阈值电压为  $V_{th}$ , 此时, 第二电容 Cst2 上的电压差为  $V_{th}$ , 实现了在第二电容 Cst2 的第一端 y1 处驱动晶体管 T0 的阈值电压的存储, 使数据写入子模块 2 处于初始化状态。

[0119] 在显示阶段的数据写入阶段即显示阶段的第二阶段 2, 此时, 扫描信号端 Scan 的电压  $V_{Scan}$  处于低电平, 数据信号端 Data 的电压  $V_{Data}$ , 复位信号端 Reset 的电压  $V_{Reset}$ , 触控控制信号端 Select 的电压  $V_{Select}$  以及发光控制信号端 EM 的电压  $V_{EM}$  处于高电平, 第二开关晶体管 T2 处于开启状态, 第一开关晶体管 T1、第三开关晶体管 T3、第四开关晶体管 T4 以及第五开关晶体管 T5 处于关闭状态。第二电容 Cst2 的第二端 y2 直接与第一参考信号端 Ref1 相连, 第二电容 Cst2 的第二端 y2 的电压变为  $V_{SS}$ 。由数据信号端 Data 输出的数据信号  $V_{Data}$  通过第二开关晶体管 T2 的源极写入与其漏极连接的第一电容 Cst1 的第二端 x2, 使第一电容 Cst1 的第二端 x2 的电压变为  $V_{Data}$ , 此时, 第一电容 Cst1 和第二电容 Cst2 在其连接处即第二电容 Cst2 的第一端 y1 处的耦合电压为  $V_{Data} [C1/(C1+C2)] + V_{SS} + V_{th}$ , 其中 C1 和 C2 分别为第一电容 Cst1 和第二电容 Cst2 的电容值。第二电容 Cst2 的第一端 y1 与驱动晶体管 T0 的栅极相连, 驱动晶体管 T0 的栅极的电压也为  $V_{Data} [C1/(C1+C2)] + V_{SS} + V_{th}$ , 即在驱动晶体管 T0 的栅极实现了数据写入。

[0120] 在显示阶段的发光驱动阶段即显示阶段的第三阶段 3, 此时, 数据信号端 Data 的电压  $V_{Data}$  和发光控制信号端 EM 的电压  $V_{EM}$  处于低电平, 复位信号端 Reset 的电压  $V_{Reset}$ , 扫描信号端 Scan 的电压  $V_{Scan}$ , 以及触控控制信号端 Selsct 的电压  $V_{Select}$  处于高电平, 第

一开关晶体管 T1、第二开关晶体管 T2、第三开关晶体管 T3、以及第四开关晶体管 T4 处于关闭状态,第五开关晶体管 T5 处于开启状态,OLED 导通。驱动晶体管 T0 的栅极电压仍保持为  $V_{Data}[C1/(C1+C2)]+V_{SS}+V_{th}$ ,此时,驱动晶体管 T0 的源极和栅极之间的电压为  $V_{gs}=V_g-V_s=V_{Data}[C1/(C1+C2)]+V_{SS}+V_{th}-V_{SS}=V_{Data}[C1/(C1+C2)]+V_{th}$ 。

[0121] 由于驱动晶体管 T0 工作处于饱和状态,根据饱和状态电流特性可知,驱动晶体管 T0 的开态电流  $i_d$  满足公式:  $i_d=K(V_{gs}-V_{th})^2=K\{V_{Data}[C1/(C1+C2)]+V_{th}-V_{th}\}^2=K\{V_{Data}[C1/(C1+C2)]\}^2$ ,其中 K 为结构参数,相同结构中此数值相对稳定,可以算作常量。从公式推导可知,流经驱动晶体管 T0 的漏电流仅与数据信号端的电压  $V_{Data}$  以及第一电容 Cst1 和第二电容 Cst2 的电容值有关,与驱动晶体管 T0 的阈值电压  $V_{th}$  无关。因此,用该开态电流  $i_d$  驱动发光器件发光,流经各 OLED 的电流相对均匀,不会因背板制造工艺的原因导致阈值电压  $V_{th}$  不均匀而引起流经各 OLED 的电流不同,造成亮度不均匀。

[0122] 综上,上述像素电路在触控阶段,当光电二极管 PD 在有触摸时,触控信号读取端 Sensor 输出的触控感测信号比在无触摸时触控信号读取端输出的触控感测信号大,通过分析像素电路输出的触控感测信号大小可以确定触摸屏有无触摸,进而确定出触点的位置,实现了触控侦测功能。上述像素电路在显示阶段,通过将驱动晶体管 T0 的阈值电压  $V_{th}$  的存储于第二电容 Cst2 上,保证了 OLED 发光的驱动电压与数据信号的电压  $V_{Data}$  有关,与驱动晶体管 T0 的阈值电压  $V_{th}$  无关,避免了阈值电压  $V_{th}$  对 OLED 的影响,即在使用相同的数据信号加载到不同的像素单元时,能够得到亮度相同的图像,提高了显示装置显示区域图像亮度的均匀性。

[0123] 实例三:

[0124] 如图 4a 和图 4b 所示,驱动晶体管 T0 为 P 型晶体管,第一晶体管 T1、第二开关晶体管 T2、第三开关晶体管 T3、第四开关晶体管 T4 和第五开关晶体管 T5 也为 P 型晶体管。图 4c 为图 4a 和图 4b 的电路时序图,其中,扫描信号端 Scan 的电压为  $V_{Scan}$ ,数据信号端 Data 的电压为  $V_{Data}$ ,复位信号端 Reset 的电压为  $V_{Reset}$ ,触控控制信号端 Select 的电压为  $V_{Select}$ ,发光控制信号端 EM 的电压为  $V_{EM}$ ,驱动晶体管 T0 的栅极在有触摸时电压为  $V_{A1}$ ,驱动晶体管 T0 的栅极在无触摸时电压为  $V_{A2}$ 。

[0125] 具体地,像素电路的工作原理如下:

[0126] 在触控阶段的初始化阶段即触控阶段的第一阶段 1,此时,复位信号端 Reset 的电压  $V_{Reset}$  处于低电平,触控控制信号端 Select 的电压  $V_{Select}$  和发光控制信号端 EM 的电压  $V_{EM}$  处于高电平,第一开关晶体管 T1 处于开启状态,第三开关晶体管 T3、第四开关晶体管 T4 以及第五开关晶体管 T5 处于关闭状态。开启的第一开关晶体管 T1 使驱动晶体管 T0 变为二极管的连接方式。扫描信号端 Scan 的电压  $V_{Scan}$  由短暂的低电平变为高电平,同时数据信号端 Data 的电压  $V_{Data}$  与扫描信号端的电压同步的由短暂的低电平变为高电平,使变为二极管连接方式的驱动晶体管 T0 导通。这时,第二电容 Cst2 的第二端 y2 直接与第一参考信号端 Ref1 相连,第二电容 Cst2 第二端 y2 的电压为  $V_{DD}$ 。同时,第一参考信号端 Ref1 的电压  $V_{DD}$  经驱动晶体管 T0 和第一开关晶体管 T1 开始对第二电容 Cst2 充电,充至第二电容 Cst2 的第一端 y1 的电压值  $V_A$  为  $V_{DD}+V_{th}$  时驱动晶体管 T0 关闭,其中,驱动晶体管 T0 的阈值电压为  $V_{th}$ ,此时,第二电容 Cst2 上的电压差为  $V_{th}$ ,实现了在第二电容 Cst2 的第一端 y1 处驱动晶体管 T0 的阈值电压的存储,使数据写入子模块 2 处于初始化状态。此时,光电二极管 PD 处于

断开状态,无论光电二极管 PD 有无触摸,驱动晶体管 T0 的栅极电压  $V_{A1}$  和  $V_{A2}$  都为  $V_{DD} + V_{th}$ 。

[0127] 在触控阶段的数据写入阶段即触控阶段的第二阶段 2,此时,扫描信号端 Scan 的电压  $V_{Scan}$  和数据信号端 Data 的电压  $V_{Data}$  处于低电平,复位信号端 Reset 的电压  $V_{Reset}$ ,触控控制信号端 Select 的电压  $V_{Select}$  以及发光控制信号端 EM 的电压  $V_{EM}$  处于高电平,第二开关晶体管 T2 处于开启状态,第一开关晶体管 T1、第三开关晶体管 T3、第四开关晶体管 T4 以及第五开关晶体管 T5 处于关闭状态。第二电容 Cst2 的第二端 y2 直接与第一参考信号端 Ref1 相连,第二电容 Cst2 的第二端 y2 的电压为  $V_{DD}$ 。由数据信号端 Data 输出的数据信号  $V_{Data}$  通过第二开关晶体管 T2 的源极写入与其漏极连接的第一电容 Cst1 的第二端 x2,使第一电容 Cst1 的第二端 x2 的电压变为  $V_{Data}$ ,此时,第一电容 Cst1 和第二电容 Cst2 在其连接处即第二电容 Cst2 的第一端 y1 处的耦合电压为  $V_{Data}[C1/(C1+C2)]+V_{DD}+V_{th}$ ,其中 C1 和 C2 分别为第一电容 Cst1 和第二电容 Cst2 的电容值。第二电容 Cst2 的第一端 y1 与驱动晶体管 T0 的栅极相连,驱动晶体管 T0 的栅极的电压也为  $V_{Data}[C1/(C1+C2)]+V_{DD}+V_{th}$ ,即在驱动晶体管 T0 的栅极实现了数据写入。此阶段,光电二极管 PD 处于断开状态,无论光电二极管 PD 有无触摸,驱动晶体管 T0 的栅极电压  $V_{A1}$  和  $V_{A2}$  都为  $V_{Data}[C1/(C1+C2)]+V_{DD}+V_{th}$ 。

[0128] 在触控阶段的触控侦测阶段即触控阶段的第三阶段 3,此时,触控控制信号端 Select 的电压  $V_{Select}$  处于低电平,复位信号端 Reset 的电压  $V_{Reset}$ ,扫描信号端 Scan 的电压  $V_{Scan}$ ,数据信号端 Data 的电压  $V_{Data}$  以及发光控制信号端 EM 的电压  $V_{EM}$  处于高电平,第三开关晶体管 T3 和第四开关晶体管 T4 处于开启状态,第一开关晶体管 T1、第二开关晶体管 T2、以及第五开关晶体管 T5 处于关闭状态。

[0129] 此时,若光电二极管 PD 无光照即有触摸,光电二极管 PD 处于断开状态,驱动晶体管 T0 的栅极电压  $V_{A1}$  仍保持为  $V_{Data}[C1/(C1+C2)]+V_{DD}+V_{th}$ ,使驱动晶体管 T0 处于开启状态,第一参考信号端 Ref1 的电压  $V_{DD}$  输入到驱动晶体管 T0 的源极,经驱动晶体管 T0 的漏极输出触控侦测信号,该触控侦测信号又经开启的第四开关晶体管 T4 输出到触控信号读取端 Sensor。

[0130] 此时,若光电二极管 PD 处于光照下即无触摸,在光电效应的作用下光电二极管 PD 产生光生载流子,形成的反向电流使第一电容 Cst1 和第二电容 Cst2 上的电荷增加,导致输入到驱动晶体管 T0 的栅极电压  $V_{A2}$  上升,进而导致由驱动晶体管 T0 输出的、且经第四开关晶体管 T4 输出到触控信号读取端 Sensor 的触控侦测信号变小。该触控侦测信号的大小与照射到该光电二极管 PD 的光强有关,光强越大,触控侦测信号越小。

[0131] 在显示阶段的初始化阶段即显示阶段的第一阶段 1,此时,复位信号端 Reset 的电压  $V_{Reset}$  处于低电平,触控控制信号端 Select 的电压  $V_{Select}$  和发光控制信号端 EM 的电压  $V_{EM}$  处于高电平,第一开关晶体管 T1 处于开启状态,第三开关晶体管 T3、第四开关晶体管 T4 以及第五开关晶体管 T5 处于关闭状态。开启的第一开关晶体管 T1 使驱动晶体管 T0 变为二极管的连接方式。扫描信号端 Scan 的电压  $V_{Scan}$  由短暂的低电平变为高电平,同时数据信号端 Data 的电压  $V_{Data}$  与扫描信号端的电压同步的由短暂的低电平变为高电平,使变为二极管连接方式的驱动晶体管 T0 导通。这时,第二电容 Cst2 的第二端 y2 直接与第一参考信号端 Ref1 相连,第二电容 Cst2 第二端 y2 的电压为  $V_{DD}$ 。同时,第一参考信号端 Ref1 的电压  $V_{DD}$  经驱动晶体管 T0 和第一开关晶体管 T1 开始对第二电容 Cst2 充电,充至第二电容 Cst2 的第一端 y1 的电压值  $V_A$  为  $V_{DD}+V_{th}$  时驱动晶体管 T0 关闭,其中,驱动晶体管 T0 的阈值电压为

$V_{th}$ , 此时, 第二电容 Cst2 上的电压差为  $V_{th}$ , 实现了在第二电容 Cst2 的第一端 y1 处驱动晶体管 T0 的阈值电压的存储, 使数据写入子模块 2 处于初始化状态。

[0132] 在显示阶段的数据写入阶段即显示阶段的第二阶段 2, 此时, 扫描信号端 Scan 的电压  $V_{Scan}$  和数据信号端 Data 的电压  $V_{Data}$  处于低电平, 复位信号端 Reset 的电压  $V_{Reset}$ , 触控控制信号端 Select 的电压  $V_{Select}$  以及发光控制信号端 EM 的电压  $V_{EM}$  处于高电平, 第二开关晶体管 T2 处于开启状态, 第一开关晶体管 T1、第三开关晶体管 T3、第四开关晶体管 T4 以及第五开关晶体管 T5 处于关闭状态。第二电容 Cst2 的第二端 y2 直接与第一参考信号端 Ref1 相连, 第二电容 Cst2 的第二端 y2 的电压变为  $V_{DD}$ 。由数据信号端 Data 输出的数据信号  $V_{Data}$  通过第二开关晶体管 T2 的源极写入与其漏极连接的第一电容 Cst1 的第二端 x2, 使第一电容 Cst1 的第二端 x2 的电压变为  $V_{Data}$ , 此时, 第一电容 Cst1 和第二电容 Cst2 在其连接处即第二电容 Cst2 的第一端 y1 处的耦合电压为  $V_{Data} [C1 / (C1+C2)] + V_{DD} + V_{th}$ , 其中 C1 和 C2 分别为第一电容 Cst1 和第二电容 Cst2 的电容值。第二电容 Cst2 的第一端 y1 与驱动晶体管 T0 的栅极相连, 驱动晶体管 T0 的栅极的电压也为  $V_{Data} [C1 / (C1+C2)] + V_{DD} + V_{th}$ , 即在驱动晶体管 T0 的栅极实现了数据写入。

[0133] 在显示阶段的发光驱动阶段即显示阶段的第三阶段 3, 此时, 发光控制信号端 EM 的电压  $V_{EM}$  处于低电平, 复位信号端 Reset 的电压  $V_{Reset}$ , 扫描信号端 Scan 的电压  $V_{Scan}$ , 数据信号端 Data 的电压  $V_{Data}$  以及触控控制信号端 Select 的电压  $V_{Select}$  处于高电平, 第一开关晶体管 T1、第二开关晶体管 T2、第三开关晶体管 T3、以及第四开关晶体管 T4 处于关闭状态, 第五开关晶体管 T5 处于开启状态, OLED 导通。驱动晶体管 T0 的栅极电压仍保持为  $V_{Data} [C1 / (C1+C2)] + V_{DD} + V_{th}$ , 此时, 驱动晶体管 T0 的源极和栅极之间的电压为  $V_{gs} = V_g - V_s = V_{Data} [C1 / (C1+C2)] + V_{DD} + V_{th} - V_{DD} = V_{Data} [C1 / (C1+C2)] + V_{th}$ 。

[0134] 由于驱动晶体管 T0 工作处于饱和状态, 根据饱和状态电流特性可知, 驱动晶体管 T0 的开态电流  $i_d$  满足公式:  $i_d = K(V_{gs} - V_{th})^2 = K\{V_{Data} [C1 / (C1+C2)] + V_{th} - V_{th}\}^2 = K\{V_{Data} [C1 / (C1+C2)]\}^2$ , 其中 K 为结构参数, 相同结构中此数值相对稳定, 可以算作常量。从公式推导可知, 流经驱动晶体管 T0 的漏电流仅与数据信号端的电压  $V_{Data}$  以及第一电容 Cst1 和第二电容 Cst2 的电容值有关, 与驱动晶体管 T0 的阈值电压  $V_{th}$  无关。因此, 用该开态电流  $i_d$  驱动发光器件发光, 流经各 OLED 的电流相对均匀, 不会因背板制造工艺的原因导致阈值电压  $V_{th}$  不均匀而引起流经各 OLED 的电流不同, 造成亮度不均匀。

[0135] 综上, 上述像素电路在触控阶段, 当光电二极管 PD 在有触摸时, 触控信号读取端 Sensor 输出的触控感测信号比在无触摸时触控信号读取端 Sensor 输出的触控感测信号大, 通过分析像素电路输出的触控感测信号大小可以确定触摸屏有无触摸, 进而确定出触点的位置, 实现了触控侦测功能。上述像素电路在显示阶段, 通过将驱动晶体管 T0 的阈值电压  $V_{th}$  存储于第二电容 Cst2 上, 保证了 OLED 发光的驱动电压与数据信号的电压  $V_{Data}$  有关, 与驱动晶体管 T0 的阈值电压  $V_{th}$  无关, 避免了阈值电压  $V_{th}$  对 OLED 的影响, 即在使用相同的数据信号加载到不同的像素单元时, 能够得到亮度相同的图像, 提高了显示装置显示区域图像亮度的均匀性。

[0136] 实例四:

[0137] 如图 5a 和图 5b 所示, 驱动晶体管 T0 为 P 型晶体管, 第一晶体管 T1、第二开关晶体管 T2、第三开关晶体管 T3、第四开关晶体管 T4 和第五开关晶体管 T5 为 N 型晶体管。图 5c

为图 5a 和图 5b 的电路时序图, 其中, 扫描信号端 Scan 的电压为  $V_{Scan}$ , 数据信号端 Data 的电压为  $V_{Data}$ , 复位信号端 Reset 的电压为  $V_{Reset}$ , 触控控制信号端 Select 的电压为  $V_{Select}$ , 发光控制信号端 EM 的电压为  $V_{EM}$ , 驱动晶体管 T0 的栅极在有触摸时电压为  $V_{A1}$ , 驱动晶体管 T0 的栅极在无触摸时电压为  $V_{A2}$ 。

[0138] 具体地, 像素电路的工作原理如下:

[0139] 在触控阶段的初始化阶段即触控阶段的第一阶段 1, 此时, 复位信号端 Reset 的电压  $V_{Reset}$  处于高电平, 触控控制信号端 Select 的电压  $V_{Select}$  和发光控制信号端 EM 的电压  $V_{EM}$  处于低电平, 第一开关晶体管 T1 处于开启状态, 第三开关晶体管 T3、第四开关晶体管 T4 以及第五开关晶体管 T5 处于关闭状态。开启的第一开关晶体管 T1 使驱动晶体管 T0 变为二极管的连接方式。扫描信号端 Scan 的电压  $V_{Scan}$  由短暂的高电平变为低电平, 同时数据信号端 Data 的电压  $V_{Data}$  与扫描信号端的电压同步的由短暂的低电平变为高电平, 使变为二极管连接方式的驱动晶体管 T0 导通。这时, 第二电容 Cst2 的第二端 y2 直接与第一参考信号端 Ref1 相连, 第二电容 Cst2 第二端 y2 的电压变为  $V_{DD}$ 。同时, 第一参考信号端 Ref1 的电压  $V_{DD}$  经驱动晶体管 T0 和第一开关晶体管 T1 开始对第二电容 Cst2 充电, 充至第二电容 Cst2 的第一端 y1 的电压值  $V_A$  为  $V_{DD}+V_{th}$  时驱动晶体管 T0 关闭, 其中, 驱动晶体管 T0 的阈值电压为  $V_{th}$ , 此时, 第二电容 Cst2 上的电压差为  $V_{th}$ , 实现了在第二电容 Cst2 的第一端 y1 处驱动晶体管 T0 的阈值电压的存储, 使数据写入子模块 2 处于初始化状态。此时, 光电二极管 PD 处于断开状态, 无论光电二极管 PD 有无触摸, 驱动晶体管 T0 的栅极电压  $V_{A1}$  和  $V_{A2}$  都为  $V_{DD}+V_{th}$ 。

[0140] 在触控阶段的数据写入阶段即触控阶段的第二阶段 2, 此时, 扫描信号端 Scan 的电压  $V_{Scan}$  处于高电平, 数据信号端 Data 的电压  $V_{Data}$ , 复位信号端 Reset 的电压  $V_{Reset}$ , 触控控制信号端 Select 的电压  $V_{Select}$  以及发光控制信号端 EM 的电压  $V_{EM}$  处于低电平, 第二开关晶体管 T2 处于开启状态, 第一开关晶体管 T1、第三开关晶体管 T3、第四开关晶体管 T4 以及第五开关晶体管 T5 处于关闭状态。第二电容 Cst2 的第二端 y2 直接与第一参考信号端 Ref1 相连, 第二电容 Cst2 的第二端 y2 的电压变为  $V_{DD}$ 。由数据信号端 Data 输出的数据信号  $V_{Data}$  通过第二开关晶体管 T2 的源极写入与其漏极连接的第一电容 Cst1 的第二端 x2, 使第一电容 Cst1 的第二端 x2 的电压变为  $V_{Data}$ , 此时, 第一电容 Cst1 和第二电容 Cst2 在其连接处即第二电容 Cst2 的第一端 y1 处的耦合电压为  $V_{Data}[C1/(C1+C2)]+V_{DD}+V_{th}$ , 其中 C1 和 C2 分别为第一电容 Cst1 和第二电容 Cst2 的电容值。第二电容 Cst2 的第一端 y1 与驱动晶体管 T0 的栅极相连, 驱动晶体管 T0 的栅极的电压也为  $V_{Data}[C1/(C1+C2)]+V_{DD}+V_{th}$ , 即在驱动晶体管 T0 的栅极实现了数据写入。此阶段, 光电二极管 PD 处于断开状态, 无论光电二极管 PD 有无触摸, 驱动晶体管 T0 的栅极电压  $V_{A1}$  和  $V_{A2}$  都为  $V_{Data}[C1/(C1+C2)]+V_{DD}+V_{th}$ 。

[0141] 在触控阶段的触控侦测阶段即触控阶段的第三阶段 3, 此时, 数据信号端 Data 的电压  $V_{Data}$  和触控控制信号端 Select 的电压  $V_{Select}$  处于高电平, 复位信号端 Reset 的电压  $V_{Reset}$ , 扫描信号端 Scan 的电压  $V_{Scan}$ , 以及发光控制信号端 EM 的电压  $V_{EM}$  处于低电平, 第三开关晶体管 T3 和第四开关晶体管 T4 处于开启状态, 第一开关晶体管 T1、第二开关晶体管 T2、以及第五开关晶体管 T5 处于关闭状态。

[0142] 此时, 若光电二极管 PD 无光照即有触摸, 光电二极管 PD 处于断开状态, 驱动晶体管 T0 的栅极电压  $V_{A1}$  仍保持为  $V_{Data}[C1/(C1+C2)]+V_{DD}+V_{th}$ , 使驱动晶体管 T0 处于开启状态, 第一参考信号端 Ref1 的电压  $V_{DD}$  输入到驱动晶体管 T0 的源极, 经驱动晶体管 T0 的漏极输

出触控侦测信号,该触控侦测信号又经开启的第四开关晶体管 T4 输出到触控信号读取端 Sensor。

[0143] 此时,若光电二极管 PD 处于光照下即无触摸,在光电效应的作用下光电二极管 PD 产生光生载流子,形成的反向电流使第一电容 Cst1 和第二电容 Cst2 上的电荷增加,导致输入到驱动晶体管 T0 的栅极电压  $V_{A2}$  上升,进而导致由驱动晶体管 T0 输出的、且经第四开关晶体管 T4 输出到触控信号读取端 Sensor 的触控侦测信号变小。该触控侦测信号的大小与照射到该光电二极管 PD 的光强有关,光强越大,触控侦测信号越小。

[0144] 在显示阶段的初始化阶段即显示阶段的第一阶段 1,此时,复位信号端 Reset 的电压  $V_{Reset}$  处于高电平,触控控制信号端 Select 的电压  $V_{Select}$  和发光控制信号端 EM 的电压  $V_{EM}$  处于低电平,第一开关晶体管 T1 处于开启状态,第三开关晶体管 T3、第四开关晶体管 T4 以及第五开关晶体管 T5 处于关闭状态。开启的第一开关晶体管 T1 使驱动晶体管 T0 变为二极管的连接方式。扫描信号端 Scan 的电压  $V_{Scan}$  由短暂的高电平变为低电平,同时数据信号端 Data 的电压  $V_{Data}$  与扫描信号端的电压同步的由短暂的低电平变为高电平,使变为二极管连接方式的驱动晶体管 T0 导通。这时,第二电容 Cst2 的第二端 y2 直接与第一参考信号端 Ref1 相连,第二电容 Cst2 第二端 y2 的电压为  $V_{DD}$ 。同时,第一参考信号端 Ref1 的电压  $V_{DD}$  经驱动晶体管 T0 和第一开关晶体管 T1 开始对第二电容 Cst2 充电,充至第二电容 Cst2 的第一端 y1 的电压值  $V_A$  为  $V_{DD}+V_{th}$  时驱动晶体管 T0 关闭,其中,驱动晶体管 T0 的阈值电压为  $V_{th}$ ,此时,第二电容 Cst2 上的电压差为  $V_{th}$ ,实现了在第二电容 Cst2 的第一端 y1 处驱动晶体管 T0 的阈值电压的存储,使数据写入子模块 2 处于初始化状态。

[0145] 在显示阶段的数据写入阶段即显示阶段的第二阶段 2,此时,扫描信号端 Scan 的电压  $V_{Scan}$  处于高电平,数据信号端 Data 的电压  $V_{Data}$ ,复位信号端 Reset 的电压  $V_{Reset}$ ,触控控制信号端 Select 的电压  $V_{Select}$  以及发光控制信号端 EM 的电压  $V_{EM}$  处于低电平,第二开关晶体管 T2 处于开启状态,第一开关晶体管 T1、第三开关晶体管 T3、第四开关晶体管 T4 以及第五开关晶体管 T5 处于关闭状态。第二电容 Cst2 的第二端 y2 直接与第一参考信号端 Ref1 相连,第二电容 Cst2 的第二端 y2 的电压变为  $V_{DD}$ 。由数据信号端 Data 输出的数据信号  $V_{Data}$  通过第二开关晶体管 T2 的源极写入与其漏极连接的第一电容 Cst1 的第二端 x2,使第一电容 Cst1 的第二端 x2 的电压变为  $V_{Data}$ ,此时,第一电容 Cst1 和第二电容 Cst2 在其连接处即第二电容 Cst2 的第一端 y1 处的耦合电压为  $V_{Data}[C1/(C1+C2)]+V_{DD}+V_{th}$ ,其中 C1 和 C2 分别为第一电容 Cst1 和第二电容 Cst2 的电容值。第二电容 Cst2 的第一端 y1 与驱动晶体管 T0 的栅极相连,驱动晶体管 T0 的栅极的电压也为  $V_{Data}[C1/(C1+C2)]+V_{DD}+V_{th}$ ,即在驱动晶体管 T0 的栅极实现了数据写入。

[0146] 在显示阶段的的发光驱动阶段即显示阶段的第三阶段 3,此时,数据信号端 Data 的电压  $V_{Data}$  和发光控制信号端 EM 的电压  $V_{EM}$  处于高电平,复位信号端 Reset 的电压  $V_{Reset}$ ,扫描信号端 Scan 的电压  $V_{Scan}$ ,以及触控控制信号端 Selsct 的电压  $V_{Select}$  处于低电平,第一开关晶体管 T1、第二开关晶体管 T2、第三开关晶体管 T3、以及第四开关晶体管 T4 处于关闭状态,第五开关晶体管 T5 处于开启状态,oled 导通。驱动晶体管 T0 的栅极电压仍保持为  $V_{Data}[C1/(C1+C2)]+V_{DD}+V_{th}$ ,此时,驱动晶体管 T0 的源极和栅极之间的电压为  $V_{gs}=V_g-V_s=V_{Data}[C1/(C1+C2)]+V_{DD}+V_{th}-V_{DD}=V_{Data}[C1/(C1+C2)]+V_{th}$ 。

[0147] 由于驱动晶体管 T0 工作处于饱和状态,根据饱和状态电流特性可知,驱动晶体

管 T0 的开态电流  $i_d$  满足公式： $i_d = K(V_{gs} - V_{th})^2 = K\{V_{Data}[C1 / (C1+C2)] + V_{th} - V_{th}\}^2 = K\{V_{Data}[C1 / (C1+C2)]\}^2$ ，其中 K 为结构参数，相同结构中此数值相对稳定，可以算作常量。从公式推导可知，流经驱动晶体管 T0 的漏电流仅与数据信号端的电压  $V_{Data}$  以及第一电容 Cst1 和第二电容 Cst2 的电容值有关，与驱动晶体管 T0 的阈值电压  $V_{th}$  无关。因此，用该开态电流  $i_d$  驱动发光器件发光，流经各 OLED 的电流相对均匀，不会因背板制造工艺的原因导致阈值电压  $V_{th}$  不均匀而引起流经各 OLED 的电流不同，造成亮度不均匀。

[0148] 综上，上述像素电路在触控阶段，当光电二极管 PD 在有触摸时，触控信号读取端 Sensor 输出的触控感测信号比在无触摸时触控信号读取端输出的触控感测信号大，通过分析像素电路输出的触控感测信号大小可以确定触摸屏有无触摸，进而确定出触点的位置，实现了触控侦测功能。上述像素电路在显示阶段，通过将驱动晶体管 T0 的阈值电压  $V_{th}$  的存储于第二电容 Cst2 上，保证了 OLED 发光的驱动电压与数据信号的电压  $V_{Data}$  有关，与驱动晶体管 T0 的阈值电压  $V_{th}$  无关，避免了阈值电压  $V_{th}$  对 OLED 的影响，即在使用相同的数据信号加载到不同的像素单元时，能够得到亮度相同的图像，提高了显示装置显示区域图像亮度的均匀性。

[0149] 基于同一发明构思，本发明实施例还提供了一种有机电致发光显示面板，包括本发明实施例提供的上述像素电路，由于该有机电致发光显示面板解决问题的原理与前述一种像素电路相似，因此该有机电致发光显示面板的实施可以参见像素电路的实施，重复之处不再赘述。

[0150] 基于同一发明构思，本发明实施例还提供了一种显示装置，包括本发明实施例提供的上述有机电致发光显示面板，该显示装置可以是显示器、手机、电视、笔记本、一体机等，对于显示装置的其它必不可少的组成部分均为本领域的普通技术人员应该理解具有的，在此不做赘述，也不应作为对本发明的限制。

[0151] 本发明实施例提供的一种像素电路、有机电致发光显示面板及显示装置，该像素电路包括：驱动子模块，数据写入子模块，具有光敏器件的触控侦测子模块，以及具有发光器件的发光控制子模块；其中，在复位信号端、扫描信号端和数据信号端的控制下，数据写入子模块向驱动子模块的第一端传输数据信号；在触控控制信号端的控制下，触控侦测子模块控制驱动子模块向触控信号读取端输出触控侦测信号，触控侦测信号随着照射到光敏器件光强的增大而减小，实现触控侦测功能；在发光控制信号端的控制下，发光控制子模块控制驱动子模块驱动发光器件发光，实现显示驱动功能。该像素电路集成了触控与显示功能，这样可以节省分别设置显示驱动电路和触控电路的制作成本，还可以减薄显示面板的厚度。

[0152] 显然，本领域的技术人员可以对本发明进行各种改动和变型而不脱离本发明的精神和范围。这样，倘若本发明的这些修改和变型属于本发明权利要求及其等同技术的范围之内，则本发明也意图包含这些改动和变型在内。

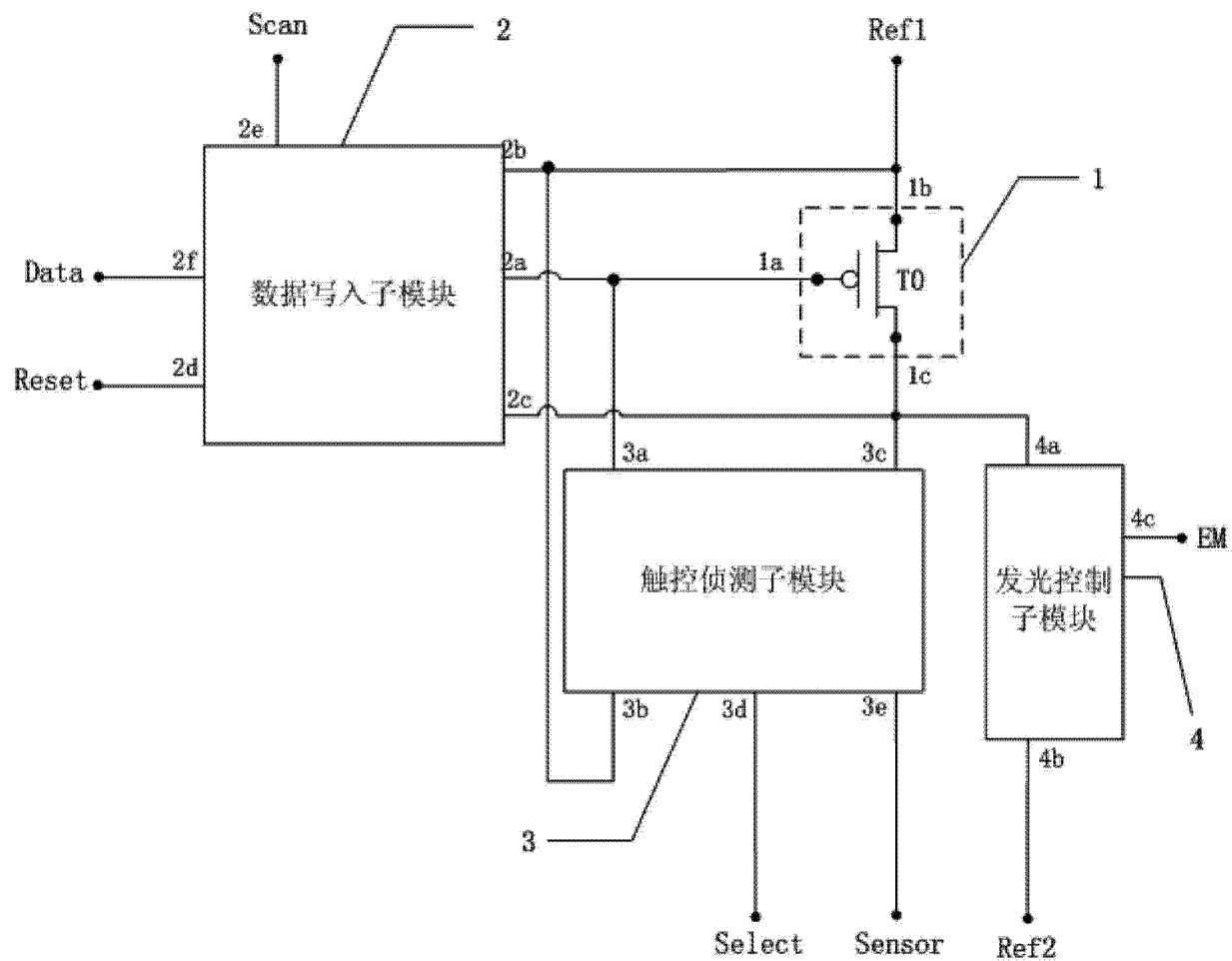


图 1

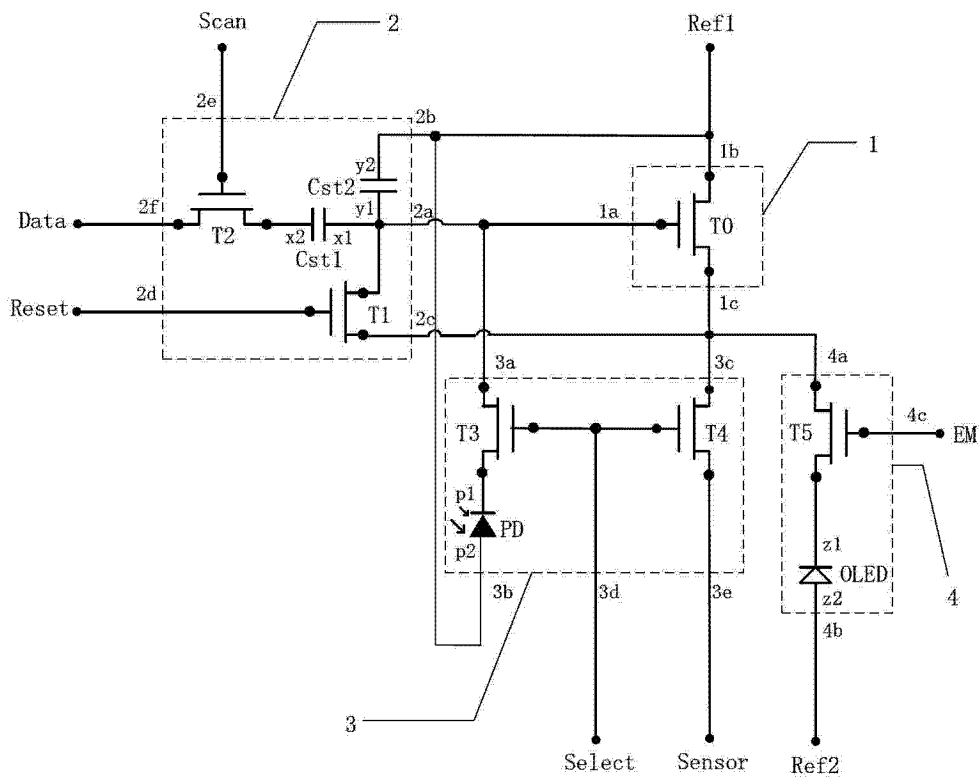


图 2a

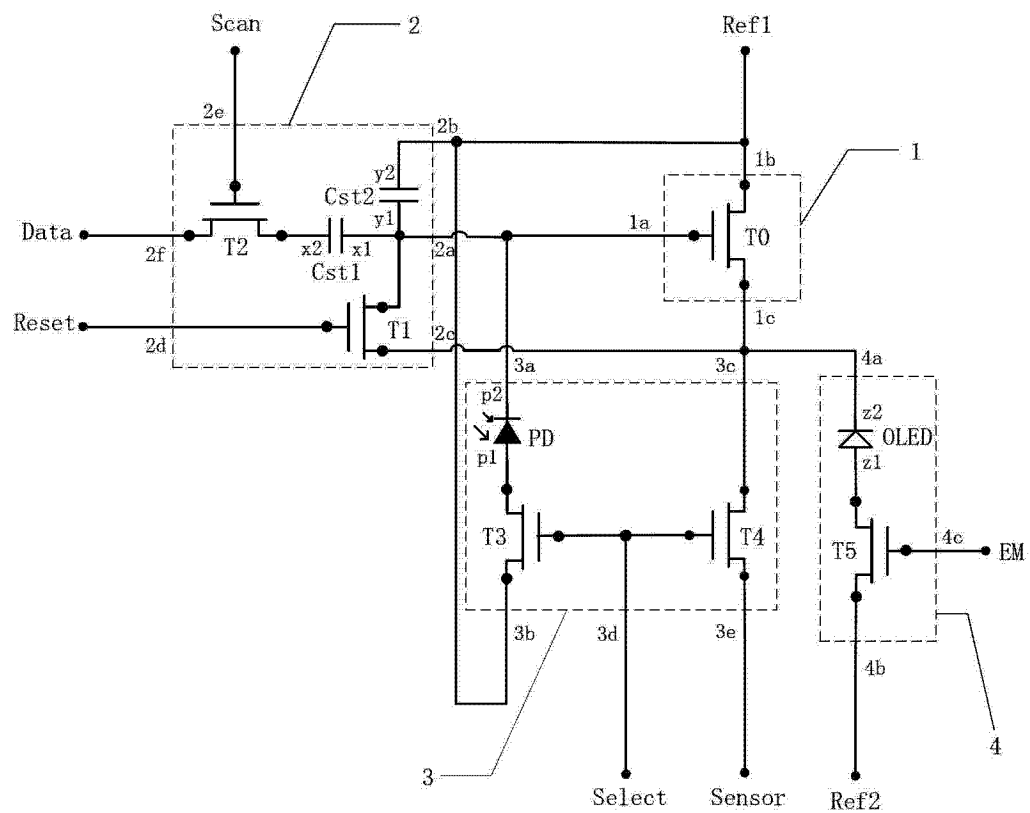


图 2b

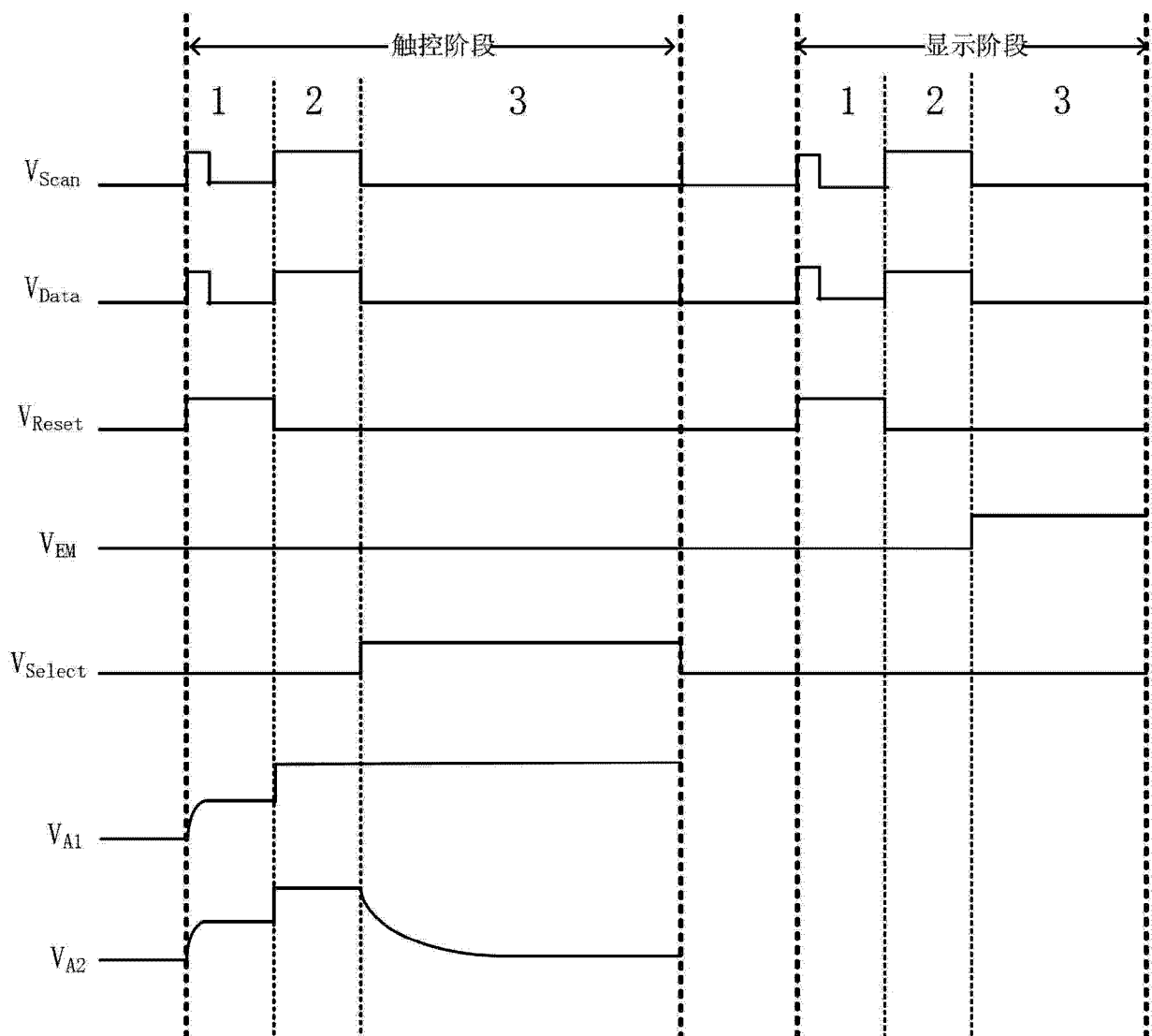


图 2c

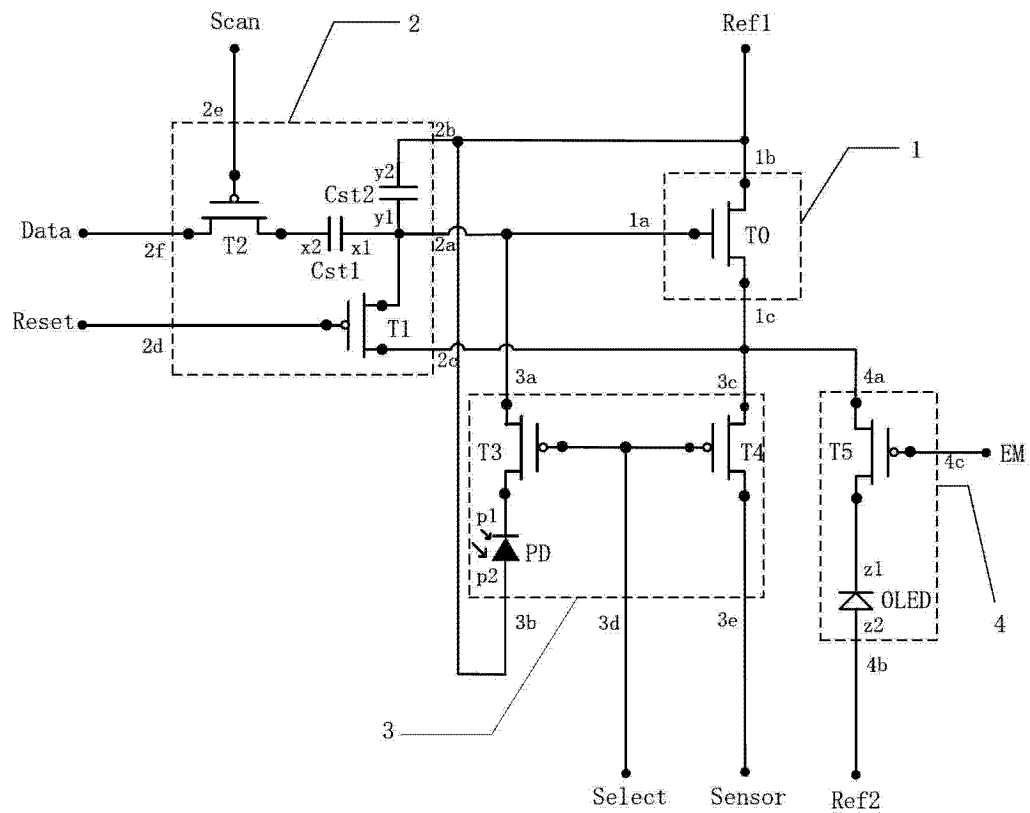


图 3a

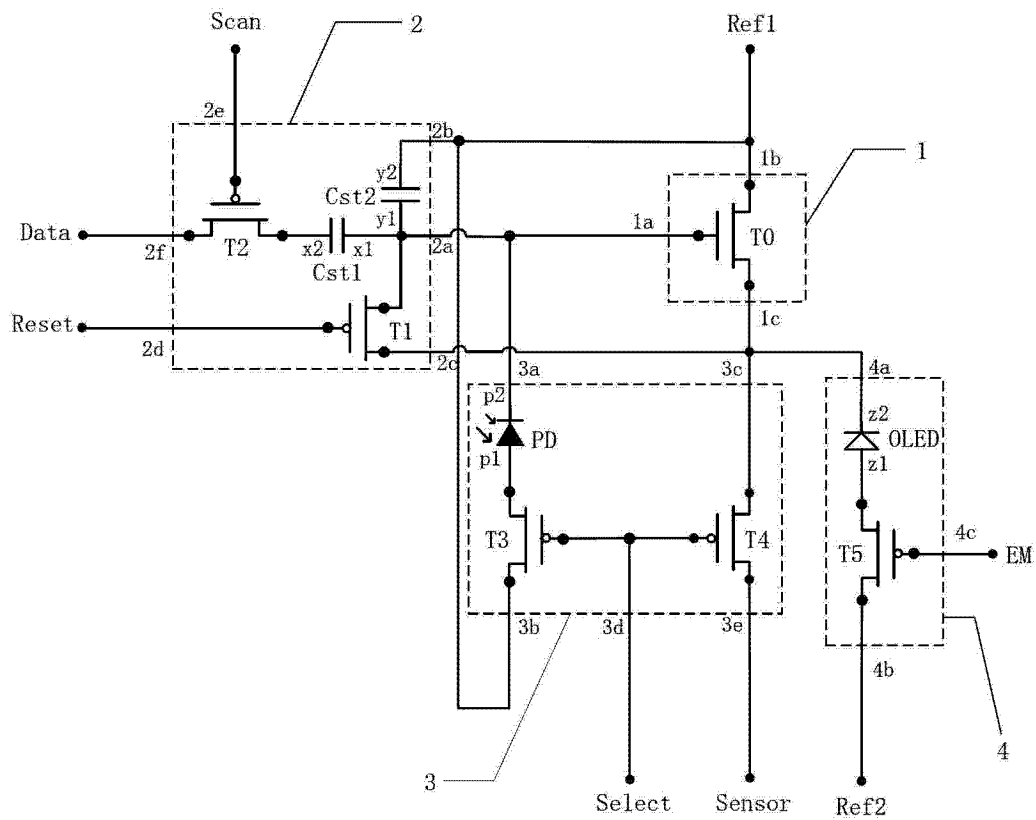


图 3b

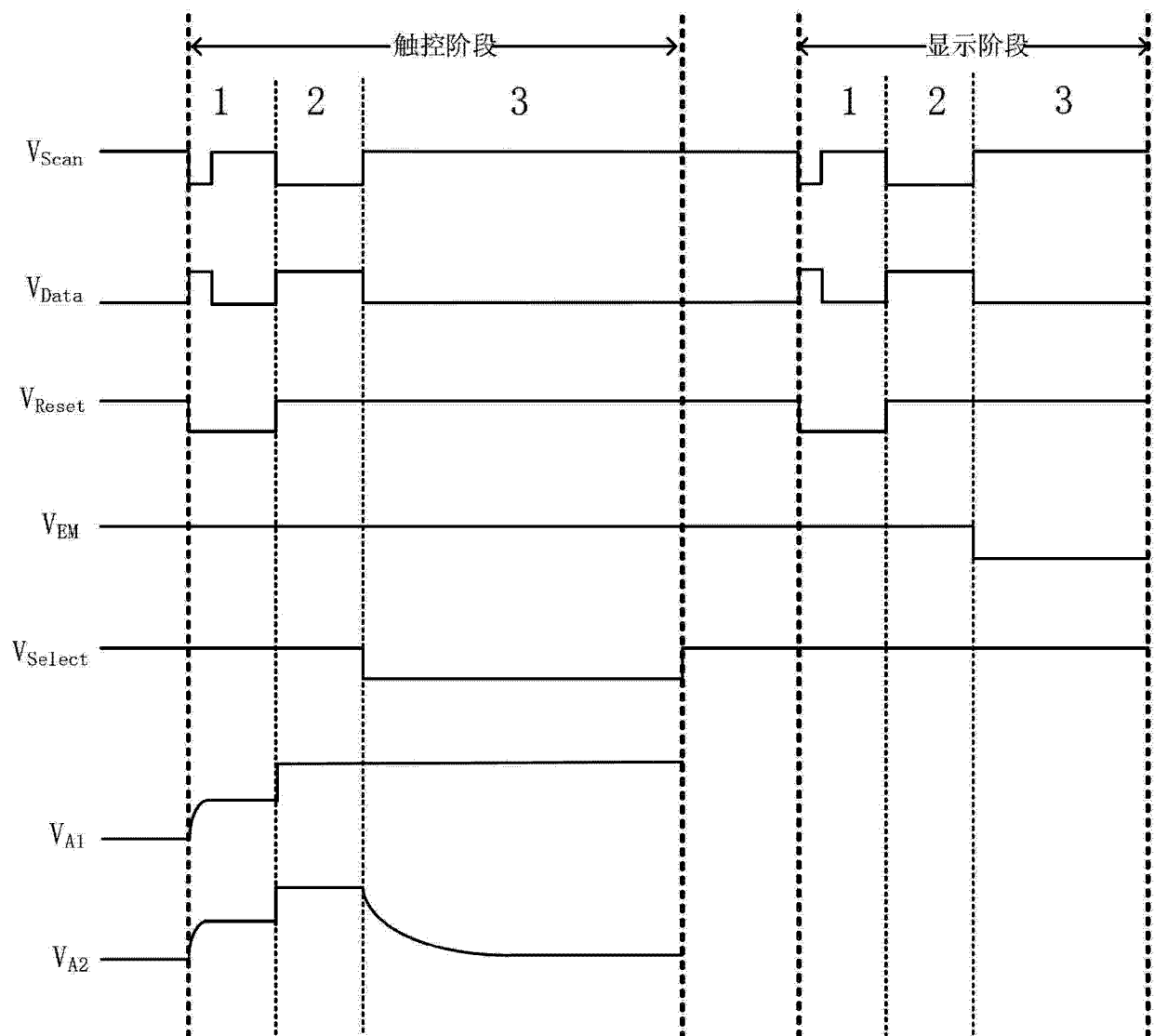


图 3c

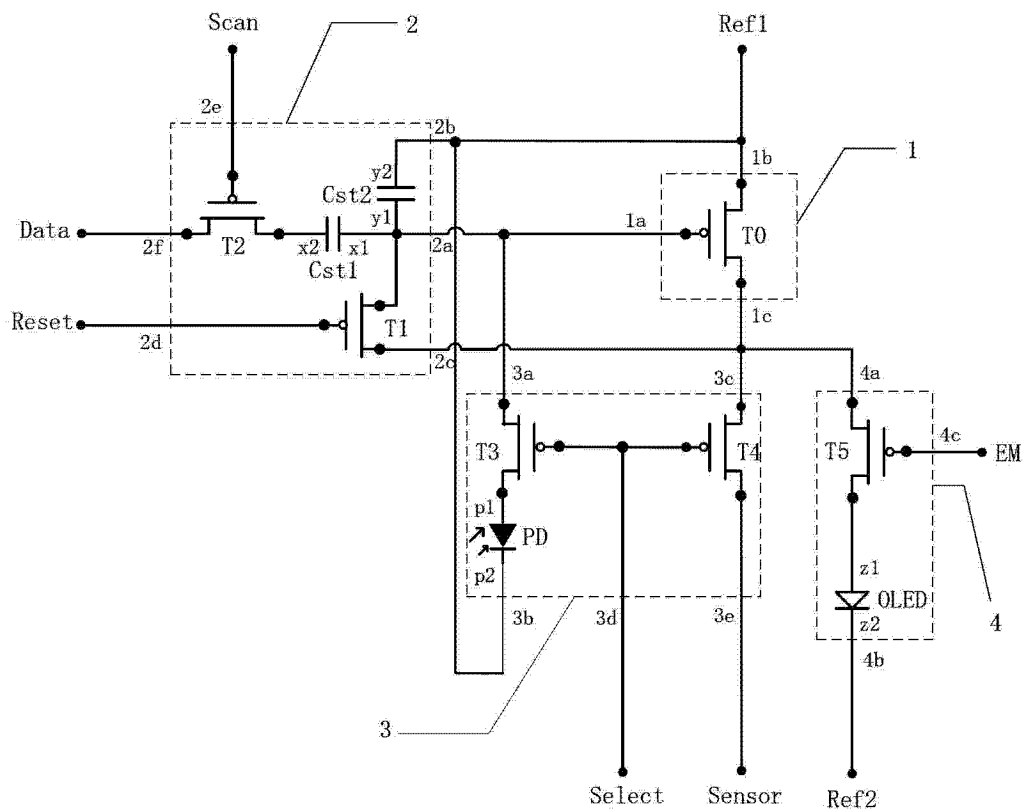


图 4a

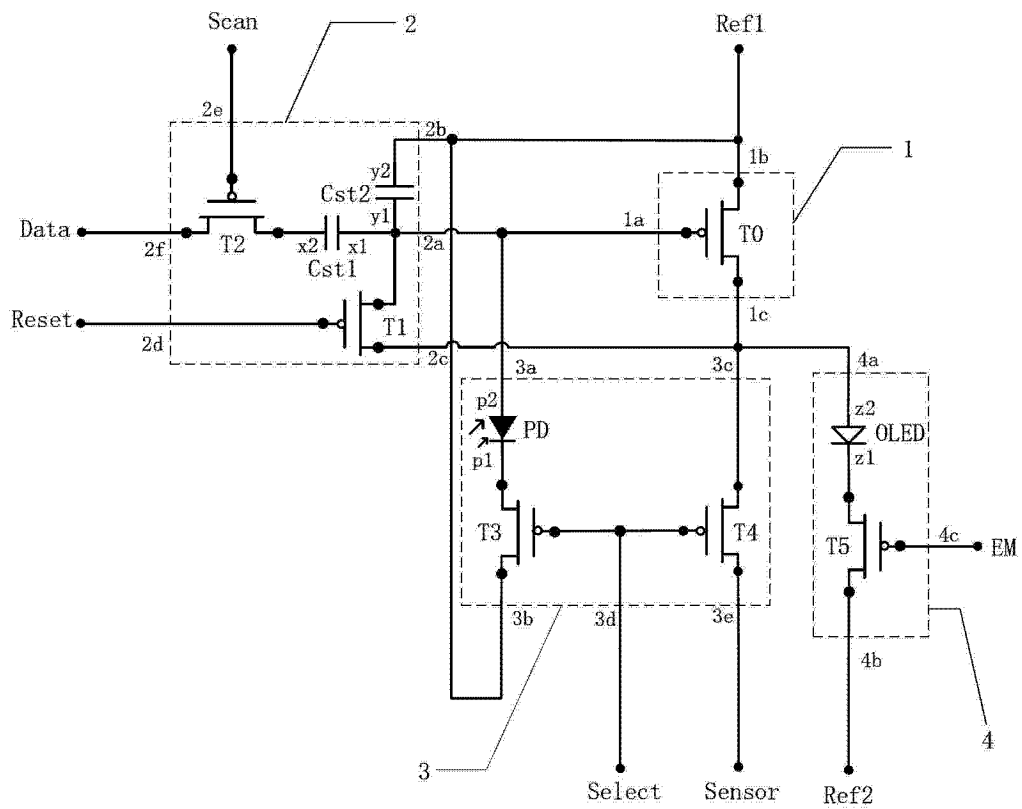


图 4b

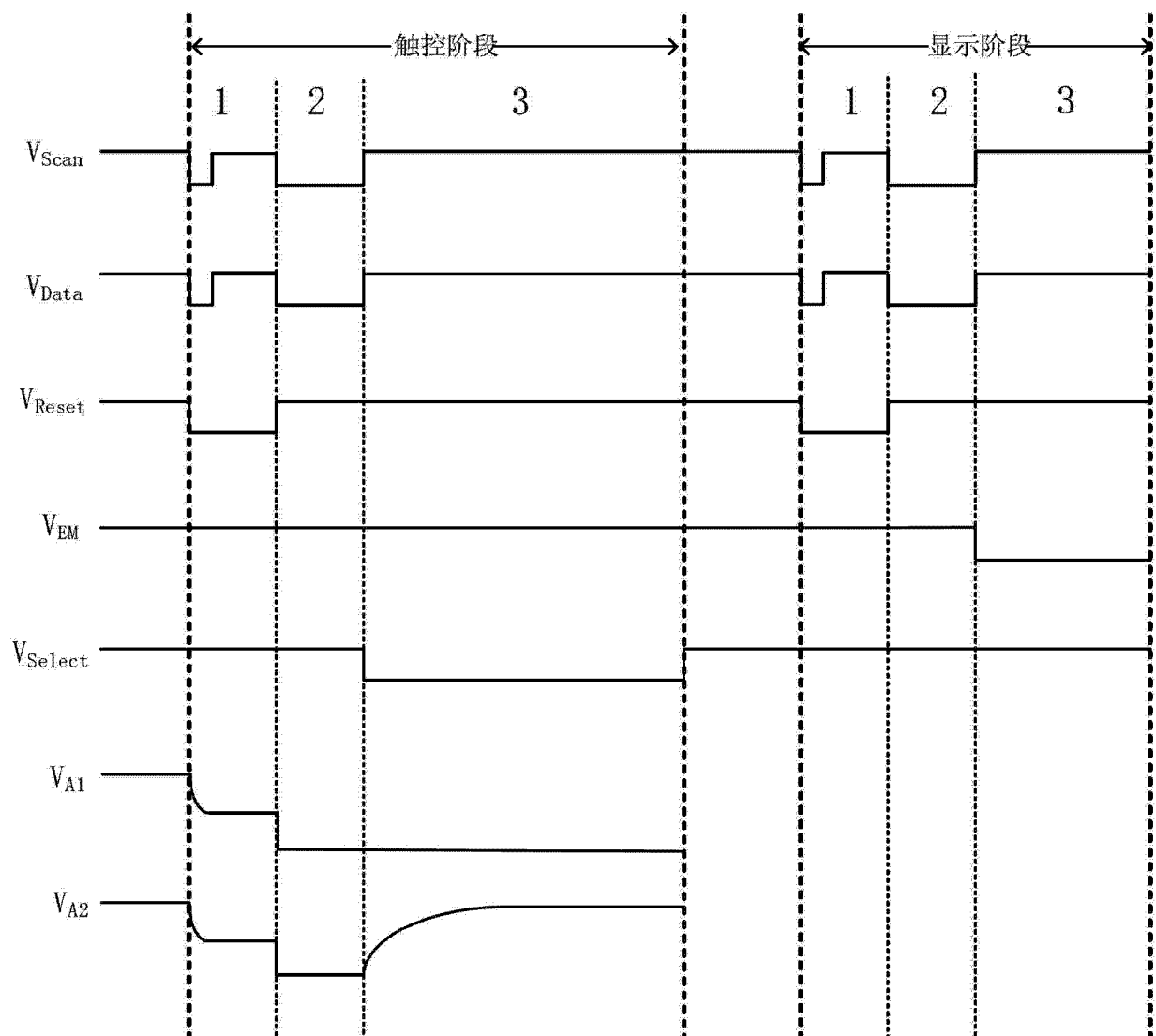


图 4c

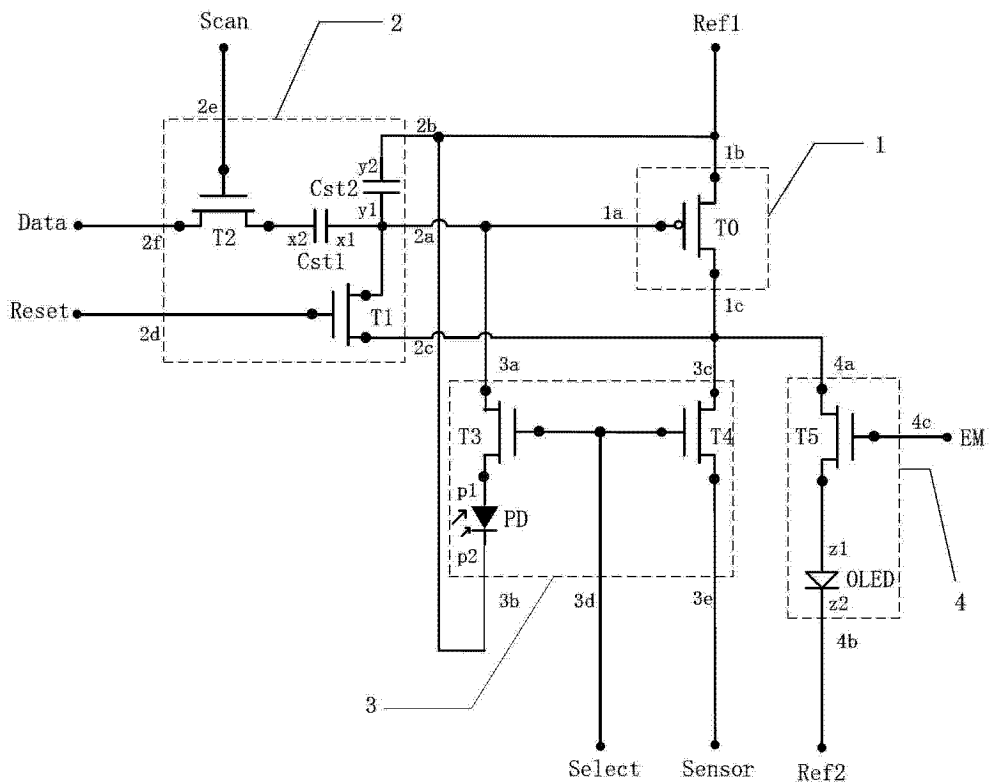


图 5a

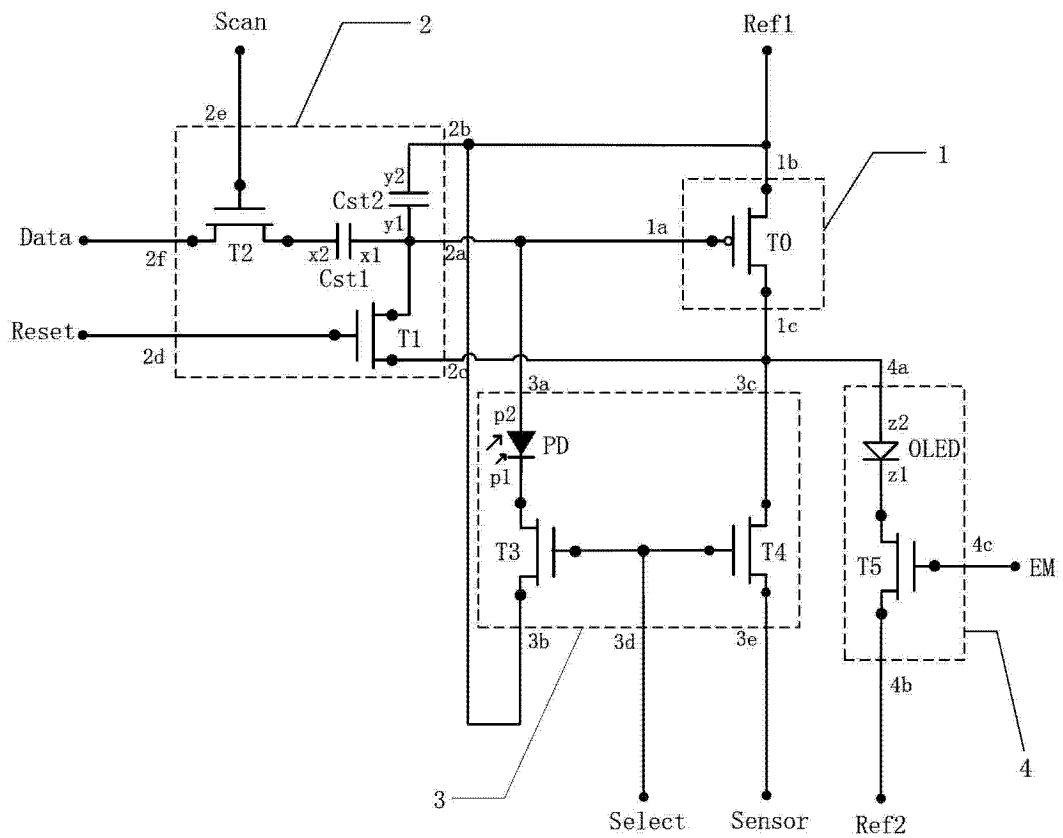


图 5b

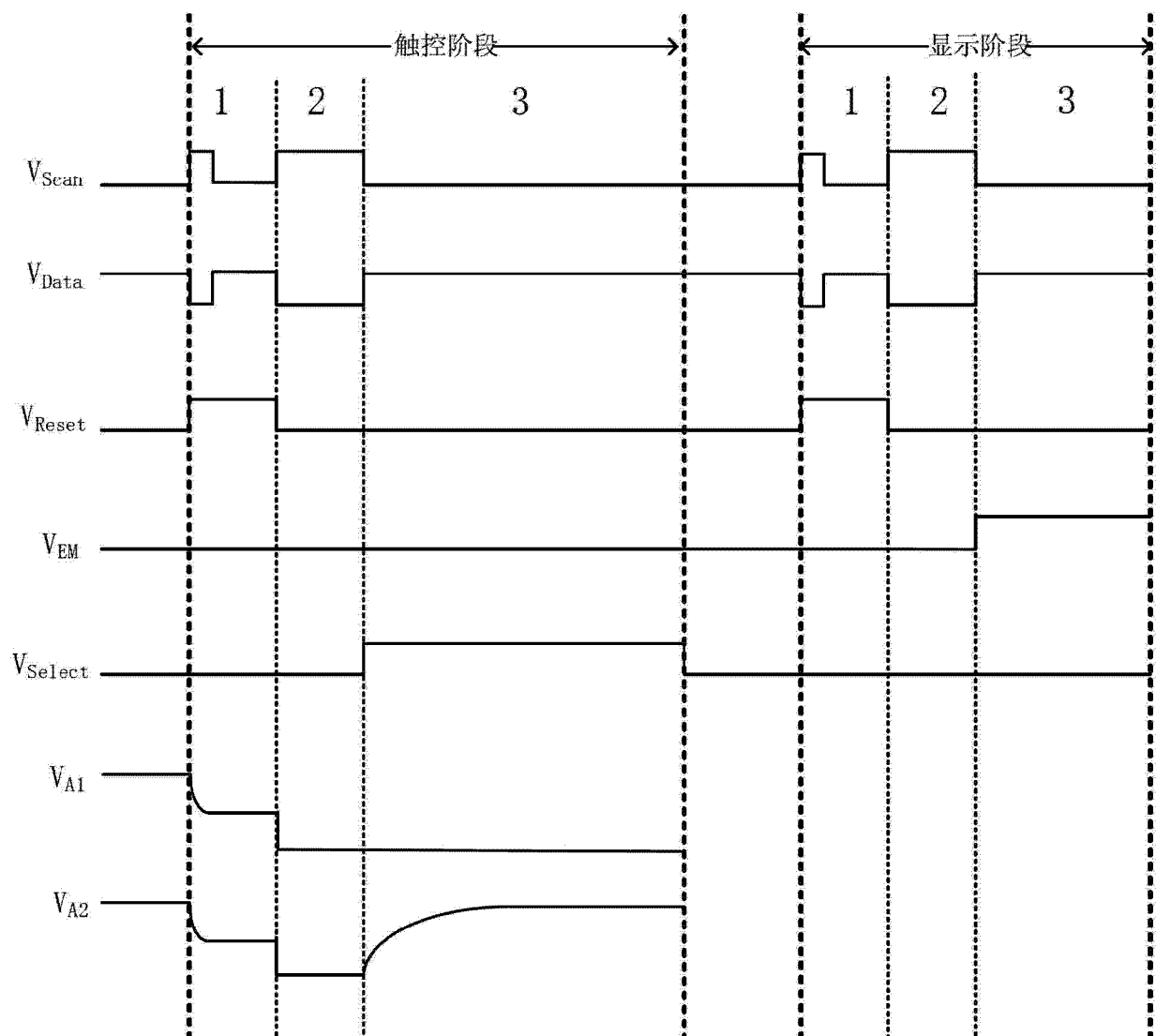


图 5c